PATENT ABSTRACTS OF JAPAN

(11)Publication number:

2004-187563

(43) Date of publication of application: 08.07.2004

(51)Int.Cl.

C12Q 1/70 GO1N 33/53 GO1N 33/566

(21)Application number: 2002-358607

(71)Applicant : PEPTIDE DOOR CO LTD

(22)Date of filing:

10.12.2002

(72)Inventor: SUZUKI MASATSUGU

TSUNODA HIROYUKI **KOBAYASHI TOMOMI** MATSUMOTO MEGUMI

(54) METHOD FOR DETECTING IgG USING PEPTIDE BINDABLE TO LgG OR PHAGE PRESENTED WITH THE PEPTIDE ON THE SURFACE

(57)Abstract:

PROBLEM TO BE SOLVED: To provide a method for detecting IgG using as a detective means a new peptide bindable to the Fc fragment of IgG or a phage presented with the peptide on the surface.

SOLUTION: Using the Fc fragment of IgG derived from various animals as a target substance, a screening is carried out by phage display method and the amino acid sequence of the peptide bindable to the target substance is identified. The peptide having the thus obtained specific amino acid sequence or an amino acid sequence selected from those modified, amino acid residuesubstituted, inserted and/or deleted in the above amino acid sequence on condition that the bindability of IgG to the Fc fragment is not impaired, or the phage presented with the peptide on the surface, is used as the detective means for the IgG.

(19) **日本国特許庁(JP)**

(12) 公 開 特 許 公 報(A)

(11)特許出願公開番号

特開2004-187563 (P2004-187563A)

(43) 公開日 平成16年7月8日(2004.7.8)

(51) Int.C1.7

 \mathbf{F} 1

テーマコード (参考)

1/70 C12Q

C12Q 1/70 4B063

GO1N 33/53 GO1N 33/566

ZNAGO1N 33/53

GO1N 33/566

審査請求 未請求 請求項の数 12 OL (全 264 頁)

(21) 出願番号 (22) 出願日

特願2002-358607 (P2002-358607) 平成14年12月10日 (2002.12.10)

(71) 出願人 502305238

株式会社ペプタイドドア

群馬県高崎市緑町1-25-5 丸九緑町

ビル206号

Ν

(74) 代理人 100086689

弁理士 松井 茂

(72) 発明者 鈴木 政嗣

群馬県高崎市下中居町443-1 グリー

ンハイツNo2 101号

(72) 発明者 角田 宏幸

群馬県前橋市関根町3-26-14 10

2号 レトア小見

(72) 発明者 小林 友美

群馬県高崎市片岡町3-21-3

最終頁に続く

(54) 【発明の名称】 I g G に結合性を有するペプチド又は該ペプチドを表面に呈示したファージを用いた I g G の検 出方法

(57)【要約】 (修正有)

【課題】IgGのFcフラグメントに結合性を有する新規なペプチド又は該ペプチドを表 面に呈示したファージを検出手段として用いたIgGの検出方法を提供する。

【解決手段】各種動物由来のIgGのFcフラグメントをターゲット物質として用い、フ ァージディスプレイ法によりスクリーニングを行い、該ターゲット物質に結合性を有する ペプチドのアミノ酸配列を同定する。このようにして得られた特定のアミノ酸配列、又は それらのアミノ酸配列においてIgGのFcフラグメントに対する結合性が損なわれない 範囲で修飾、アミノ酸残基の置換、挿入及び/又は欠失したアミノ酸配列から選ばれたア ミノ酸配列を有するペプチド又は該ペプチドを表面に呈示しているファージをIgGの検 出手段として用いる。

【選択図】 なし

【特許請求の範囲】

【請求項1】

配列番号1~164で表されるアミノ酸配列、又はそれらのアミノ酸配列においてIgGのFcフラグメントに対する結合性が損なわれない範囲で修飾、アミノ酸残基の置換、挿入及び/又は欠失したアミノ酸配列から選ばれたアミノ酸配列を有するIgGのFcフラグメントに結合性を有するペプチド又は該ペプチドを表面に呈示しているファージを、IgGの検出手段として用いることを特徴とするIgGの検出方法。

【請求項2】

配列番号1~87で表されるアミノ酸配列、又はそれらのアミノ酸配列においてIgGのFcフラグメントに対する結合性が損なわれない範囲で修飾、アミノ酸残基の置換、挿入及び/又は欠失したアミノ酸配列から選ばれたアミノ酸配列を有するヒト由来IgGのFcフラグメントに結合性を有するペプチド又は該ペプチドを表面に呈示しているファージを、IgGの検出手段として用いる、請求項1に記載のIgGの検出方法。

【請求項3】

配列番号88~90で表されるアミノ酸配列、又はそれらのアミノ酸配列においてIgGのFcフラグメントに対する結合性が損なわれない範囲で修飾、アミノ酸残基の置換、挿入及び/又は欠失したアミノ酸配列から選ばれたアミノ酸配列を有するウマ由来IgGのFcフラグメントに結合性を有するペプチド又は該ペプチドを表面に呈示しているファージを、IgGの検出手段として用いる、請求項1に記載のIgGの検出方法。

【請求項4】

配列番号91~93で表されるアミノ酸配列、又はそれらのアミノ酸配列においてIgGのFcフラグメントに対する結合性が損なわれない範囲で修飾、アミノ酸残基の置換、挿入及び/又は欠失したアミノ酸配列から選ばれたアミノ酸配列を有するヒツジ由来IgGのFcフラグメントに結合性を有するペプチド又は該ペプチドを表面に呈示しているファージを、IgGの検出手段として用いる、請求項1に記載のIgGの検出方法。

【請求項5】

配列番号94~97で表されるアミノ酸配列、又はそれらのアミノ酸配列においてIgGのFcフラグメントに対する結合性が損なわれない範囲で修飾、アミノ酸残基の置換、挿入及び/又は欠失したアミノ酸配列から選ばれたアミノ酸配列を有するウサギ由来IgGのFcフラグメントに結合性を有するペプチド又は該ペプチドを表面に呈示しているファージを、IgGの検出手段として用いる、請求項1に記載のIgGの検出方法。

【請求項6】

配列番号98~104で表されるアミノ酸配列、又はそれらのアミノ酸配列においてIgGのFcフラグメントに対する結合性が損なわれない範囲で修飾、アミノ酸残基の置換、挿入及び/又は欠失したアミノ酸配列から選ばれたアミノ酸配列を有するモルモット由来IgGのFcフラグメントに結合性を有するペプチド又は該ペプチドを表面に呈示しているファージを、IgGの検出手段として用いる、請求項1に記載のIgGの検出方法。

【請求項7】

配列番号105~108で表されるアミノ酸配列、又はそれらのアミノ酸配列においてIgGのFcフラグメントに対する結合性が損なわれない範囲で修飾、アミノ酸残基の置換、挿入及び/又は欠失したアミノ酸配列から選ばれたアミノ酸配列を有するヤギ由来IgGのFcフラグメントに結合性を有するペプチド又は該ペプチドを表面に呈示しているファージを、IgGの検出手段として用いる、請求項1に記載のIgGの検出方法。

【請求項8】

配列番号109~131で表されるアミノ酸配列、又はそれらのアミノ酸配列においてIgGのFcフラグメントに対する結合性が損なわれない範囲で修飾、アミノ酸残基の置換、挿入及び/又は欠失したアミノ酸配列から選ばれたアミノ酸配列を有するネコ由来IgGのFcフラグメントに結合性を有するペプチド又は該ペプチドを表面に呈示しているファージを、IgGの検出手段として用いる、請求項1に記載のIgGの検出方法。

【請求項9】

50

40

10

20

30

40

50

配列番号132~151で表されるアミノ酸配列、又はそれらのアミノ酸配列においてIgGのFcフラグメントに対する結合性が損なわれない範囲で修飾、アミノ酸残基の置換、挿入及び/又は欠失したアミノ酸配列から選ばれたアミノ酸配列を有するイヌ由来IgGのFcフラグメントに結合性を有するペプチド又は該ペプチドを表面に呈示しているファージを、IgGの検出手段として用いる、請求項1に記載のIgGの検出方法。

【請求項10】

配列番号152~156で表されるアミノ酸配列、又はそれらのアミノ酸配列においてIgGのFcフラグメントに対する結合性が損なわれない範囲で修飾、アミノ酸残基の置換、挿入及び/又は欠失したアミノ酸配列から選ばれたアミノ酸配列を有するウシ由来IgGのFcフラグメントに結合性を有するペプチド又は該ペプチドを表面に呈示しているファージを、IgGの検出手段として用いる、請求項1に記載のIgGの検出方法。

【請求項11】

配列番号157~162で表されるアミノ酸配列、又はそれらのアミノ酸配列においてIgGのFcフラグメントに対する結合性が損なわれない範囲で修飾、アミノ酸残基の置換、挿入及び/又は欠失したアミノ酸配列から選ばれたアミノ酸配列を有するブタ由来IgGのFcフラグメントに結合性を有するペプチド又は該ペプチドを表面に呈示しているファージを、IgGの検出手段として用いる、請求項1に記載のIgGの検出方法。

【請求項12】

配列番号163~164で表されるアミノ酸配列、又はそれらのアミノ酸配列においてIgGのFcフラグメントに対する結合性が損なわれない範囲で修飾、アミノ酸残基の置換、挿入及び/又は欠失したアミノ酸配列から選ばれたアミノ酸配列を有するマウス由来IgGのFcフラグメントに結合性を有するペプチド又は該ペプチドを表面に呈示しているファージを、IgGの検出手段として用いる、請求項1に記載のIgGの検出方法。

【発明の詳細な説明】

[0001]

【発明の属する技術分野】

本発明は、IgGのFcフラグメントに結合性を有する新規なペプチド又は該ペプチドを表面に呈示したファージを用いたIgGの検出方法に関する。

[0002]

【従来の技術】

免疫反応の中心的な役割を担うタンパク質である抗体は、従来から医療や臨床診断をはじめとする幅広い分野で利用されている。

[0003]

例えば、抗体は、微量物質を特異的に検出・測定する手段として広く利用されており、酵素免疫測定法や蛍光免疫測定法等に用いられている。これらの測定方法は、ターゲット物質に結合する抗体(一次抗体)と、前記一次抗体に結合する抗体であって、蛍光物質や酵素等で標識された抗体(二次抗体)を用いてターゲット物質を検出する方法であり、検査薬に応用されているほか、医学・薬学・生化学分野等の研究に欠くことのできないものとなっている。

[0004]

一般的な抗体の作製方法としては、マウス、ウサギ、ヒツジ等の動物に抗原を接種して免疫することによって抗血清を調製し、その抗血清からポリクローナル抗体を精製する方法、ハイブリドーマをマウス等の腹腔にて増殖させ、モノクローナル抗体を含む腹水を調製し、その腹水から抗体を精製する方法、ハイブリドーマを血清培地や無血清培地中で培養してモノクローナル抗体を含む培養液を調製し、その培養液から抗体を精製する方法等がある。

[0005]

一方、近年、ファージディスプレイ法によるターゲット物質に対して結合性を有するペプチドのスクリーニングも行われており、例えば、非特許文献1には、ヒトIgGのFcフラグメントに結合性を有するペプチドとして、配列番号281~287で表されるアミノ

40

50

酸配列を有するペプチドが報告されており、これらのペプチドが、分析や医薬用途の抗体 の精製工程におけるアフィニティリガンドとして利用できる可能性があることが記載され ている。

[0006]

【非特許文献1】

Journal of Immunological Methods 221 (1998) 151-157

[0007]

【発明が解決しようとする課題】

しかしながら、上記の方法による抗体の作製はいずれも非常に手間がかかり、また、大量調製も難しいため、抗体作製のコストが高くなってしまうという問題があった。また、二次抗体として用いられる抗 I g G 抗体は、検出感度を上げるために多点で一次抗体に結合するポリクローナル抗体であることが望ましいが、ポリクローナル抗体を作製するためには動物を用いる必要があるため、得られる抗 I g G 抗体の結合力等にばらつきを生じやすく、一定品質の抗体を安定供給しにくいという問題があった。更に、抗体を作製する毎に動物を屠殺しなければならないという倫理上の問題もあった。

[00008]

一方、上記のような I g G の F c フラグメントに結合性を有するペプチドは、化学合成することができるので、一定品質のペプチドを安定して低コストで供給できるだけでなく、動物を使用しないので倫理上の問題もないといった利点を有しているが、上記非特許文献1 に記載されたペプチド以外に I g G の F c フラグメントに結合性を有するペプチドは報告されていない。

[0009]

したがって、本発明の目的は、IgGのFcフラグメントに結合性を有する新規なペプチド又は該ペプチドを表面に呈示したファージを検出手段として用いたIgGの検出方法を提供することにある。

【課題を解決するための手段】

上記目的を達成するため、本発明のIgGの検出方法は、配列番号 $1 \sim 1$ 64で表されるアミノ酸配列、又はそれらのアミノ酸配列においてIgGのFcフラグメントに対する結合性が損なわれない範囲で修飾、アミノ酸残基の置換、挿入及び/又は欠失したアミノ酸配列から選ばれたアミノ酸配列を有するIgGのFcフラグメントに結合性を有するペプチド又は該ペプチドを表面に呈示しているファージを、IgGの検出手段として用いることを特徴とする。

[0011]

本発明の検出方法によれば、IgGの検出手段として、配列番号1~164で表されるアミノ酸配列、又はそれらのアミノ酸配列においてIgGのFcフラグメントに対する結合性が損なわれない範囲で修飾、アミノ酸建の置換、挿入及び/又は欠失したアミノ酸配列から選ばれたアミノ酸配列を有するIgGのFcフラグメントに結合性を有するペプチド又は該ペプチドを表面に呈示しているファージを用いることにより、従来の抗IgG抗体を用いた検出系に比べて、より安価なIgGの検出系を提供できる。また、抗IgG抗体のような品質のばらつきがないので、より安定したIgGの検出系を提供できる。すなわち、上記ペプチドは化学合成により簡単に合成でき、また、上記ペプチドを表面に呈示しているファージは大腸菌等に感染させることにより簡単に増幅することができるので、一定品質のものを大量、かつ安価に調製することができる。

[0012]

本発明の好ましい態様においては、配列番号 1 ~ 8 7 で表されるアミノ酸配列、又はそれらのアミノ酸配列において I g G の F c フラグメントに対する結合性が損なわれない範囲で修飾、アミノ酸残基の置換、挿入及び/又は欠失したアミノ酸配列から選ばれたアミノ酸配列を有するヒト由来 I g G の F c フラグメントに結合性を有するペプチド又は該ペプ

チドを表面に呈示しているファージを、IgGの検出手段として用いることが好ましい。 これによれば、抗IgG抗体を用いた検出系に比べて、より安価なヒト由来IgGの検出 系を提供できる。また、抗IgG抗体のような品質のばらつきがないので、より安定した ヒト由来IgGの検出系を提供できる。

[0013]

[0014]

また、更に別の好ましい態様においては、配列番号91~93で表されるアミノ酸配列、又はそれらのアミノ酸配列においてIgGのFcフラグメントに対する結合性が損なわれない範囲で修飾、アミノ酸残基の置換、挿入及び/又は欠失したアミノ酸配列から選ばれたアミノ酸配列を有するヒツジ由来IgGのFcフラグメントに結合性を有するペプチド又は該ペプチドを表面に呈示しているファージを、IgGの検出手段として用いることが好ましい。これによれば、抗IgG抗体を用いた検出系に比べて、より安価なヒツジ由来IgGの検出系を提供できる。

$[0\ 0\ 1\ 5\]$

また、更に別の好ましい態様においては、配列番号94~97で表されるアミノ酸配列、又はそれらのアミノ酸配列においてIgGのFcフラグメントに対する結合性が損なわれない範囲で修飾、アミノ酸残基の置換、挿入及び/又は欠失したアミノ酸配列から選ばれたアミノ酸配列を有するウサギ由来IgGのFcフラグメントに結合性を有するペプチド又は該ペプチドを表面に呈示しているファージを、IgGの検出手段として用いることが好ましい。これによれば、抗IgG抗体を用いた検出系に比べて、より安価なウサギ由来IgG検出系を提供できる。また、抗IgG抗体のような品質のばらつきがないので、より安定したウサギ由来IgGの検出系を提供できる。

[0016]

また、更に別の好ましい態様においては、配列番号98~104で表されるアミノ酸配列、又はそれらのアミノ酸配列においてIgGのFcフラグメントに対する結合性が損なわれない範囲で修飾、アミノ酸残基の置換、挿入及び/又は欠失したアミノ酸配列から選ばれたアミノ酸配列を有するモルモット由来IgGのFcフラグメントに結合性を有するペプチド又は該ペプチドを表面に呈示しているファージを、IgGの検出手段として用いることが好ましい。これによれば、抗IgG抗体を用いた検出系に比べて、より安価なモルモット由来IgGの検出系を提供できる。また、抗IgG抗体のような品質のばらつきがないので、より安定したモルモット由来IgGの検出系を提供できる。

[0017]

また、更に別の好ましい態様においては、配列番号105~108で表されるアミノ酸配列、又はそれらのアミノ酸配列においてIgGのFcフラグメントに対する結合性が損なわれない範囲で修飾、アミノ酸残基の置換、挿入及び/又は欠失したアミノ酸配列から選ばれたアミノ酸配列を有するヤギ由来IgGのFcフラグメントに結合性を有するペプチド又は該ペプチドを表面に呈示しているファージを、IgGの検出手段として用いることが好ましい。これによれば、抗IgG抗体を用いた検出系に比べて、より安価なヤギ由来IgGの検出系を提供できる。また、抗IgG抗体のような品質のばらつきがないので、より安定したヤギ由来IgGの検出系を提供できる。

[0018]

30

また、更に別の好ましい態様においては、配列番号 $109 \sim 131$ で表されるアミノ酸配列、又はそれらのアミノ酸配列において 1gG の Fc フラグメントに対する結合性が損なわれない範囲で修飾、アミノ酸残基の置換、挿入及び/又は欠失したアミノ酸配列から選ばれたアミノ酸配列を有するネコ由来 1gG の Fc フラグメントに結合性を有するペプチド又は該ペプチドを表面に呈示しているファージを、 1gG の検出手段として用いることが好ましい。これによれば、抗 1gG 抗体を用いた検出系に比べて、より安価なネコ由来 1gG の検出系を提供できる。また、抗 1gG 抗体のような品質のばらつきがないので、より安定したネコ由来 1gG の検出系を提供できる。

[0019]

[0020]

また、更に別の好ましい態様においては、配列番号 $152\sim156$ で表されるアミノ酸配列、又はそれらのアミノ酸配列において 1gG の Fc フラグメントに対する結合性が損なわれない範囲で修飾、アミノ酸残基の置換、挿入及び/又は欠失したアミノ酸配列から選ばれたアミノ酸配列を有するウシ由来 1gG の Fc フラグメントに結合性を有するペプチド又は該ペプチドを表面に呈示しているファージを、 1gG の検出手段として用いることが好ましい。これによれば、抗 1gG 抗体を用いた検出系に比べて、より安価なウシ由来 1gG の検出系を提供できる。また、抗 1gG 抗体のような品質のばらつきがないので、より安定したウシ由来 1gG の検出系を提供できる。

[0021]

[0022]

また、更に別の好ましい態様においては、配列番号 $163\sim164$ で表されるアミノ酸配列、又はそれらのアミノ酸配列において IgG の Fc フラグメントに対する結合性が損なわれない範囲で修飾、アミノ酸残基の置換、挿入及び/又は欠失したアミノ酸配列から選ばれたアミノ酸配列を有するマウス由来 IgG の Fc フラグメントに結合性を有するペプチド又は該ペプチドを表面に呈示しているファージを、 IgG の検出手段として用いることが好ましい。これによれば、抗 IgG 抗体を用いた検出系に比べて、より安価なマウス由来 IgG の検出系を提供できる。また、抗 IgG 抗体のような品質のばらつきがないので、より安定したマウス由来 IgG の検出系を提供できる。

[0023]

【発明の実施の形態】

本発明において、IgGの検出手段として用いられるペプチドは、IgGのFcフラグメントに結合性を有するペプチドであり、ペプチド中に配列番号1~164で表されるアミノ酸配列、又はそれらのアミノ酸配列においてIgGのFcフラグメントに対する結合性が損なわれない範囲で修飾、アミノ酸残基の置換、挿入及び/又は欠失したアミノ酸配列

40

50

から選ばれたアミノ酸配列を有するものである。

[0024]

前記ペプチドは、上記の部分アミノ酸配列を有するものであれば、そのアミノ酸数は特に制限されないが、通常、アミノ酸数 4~50個からなることが好ましく、アミノ酸数 6~20個からなることがより好ましい。また、前記ペプチドは、IgGのFcフラグメントに対する結合性が損なわれない範囲で修飾(例えばアセチル化、アシル化、アミド化、カルボキシル化、リン酸化、糖鎖の付加等)、アミノ酸残基の置換、挿入及び/又は欠失があってもよい。なお、前記ペプチドは、上記アミノ酸配列を複数個有していてもよい。

[0025]

本発明において、配列番号1~164で表されるアミノ酸配列は、IgGのFcフラグメ ントをターゲット物質として用いたファージディスプレイ法 (S m i t h, G. P., Science, 288, 1315-1317 (1985)) によって決定され たものであるが、コンピューターソフト(日立Bio Package)を用いた解析に よっても決定することができる。なお、ファージディスプレイ法は、ファージの外殻タン パク質に、ランダムなアミノ酸配列を有するペプチド (通常、アミノ酸数 5 ~ 1 2 個程度)を融合タンパク質として呈示させたファージライブラリを用いて、ターゲット物質に結 合するペプチドをスクリーニングする方法である。ファージライブラリは、例えば、Sm ith, G. P., Science, 288, 1315-1317 (198 K. Scott and G. P. Smith, Science, 386-390 (1990)等に記載された方法にしたがって、ランダム 化したDNAを化学合成し、これをファージDNAの外殻タンパク質をコードする遺伝子 に挿入し、このDNAを大腸菌に導入することにより調製することができる。また、ファ ージライブラリは市販されており、例えば、商品名「Phage Display Pe ptide Library Kit」、New England Biolab社製) 等を用いることもできる。

[0026]

そして、ファージディスプレイ法等により決定されたアミノ酸配列に基づいて、例えば、固相法、Fmoc法等の公知のペプチド合成法により、目的とするペプチドを簡単に合成することができる。

[0027]

本発明において、 I g G の検出手段として用いられるファージは、ファージの外殻タンパク質に、配列番号 1 ~ 1 6 4 で表されるアミノ酸配列、又はそれらのアミノ酸配列において I g G の F c フラグメントに対する結合性が損なわれない範囲で修飾、アミノ酸残基の置換、挿入及び/又は欠失したアミノ酸配列から選ばれたアミノ酸配列を有する I g G の F c フラグメントに結合性を有するペプチドを融合タンパク質として呈示させたファージである。

[0028]

[0029]

本発明において、IgGのFcフラグメントに結合性を有するペプチドを呈示させるファージとしては、通常、ファージライブラリに用いられているファージが好ましく用いられる。このようなファージとしては、M13ファージ等の繊維状ファージ、T系ファージ等が例示できる。例えば、M13ファージの場合は、ファージの表面マイナータンパク質p

40

50

III遺伝子に、上記IgGのFcフラグメントに結合性を有するペプチドをコードしたDNAを挿入し、このDNAを大腸菌に導入することにより、ファージの表面マイナータンパク質pIIIに、上記IgGのFcフラグメントに結合性を有するペプチドを融合タンパク質として呈示させたファージを得ることができる。

[0030]

以下、本発明で用いられるペプチドについて詳しく説明する。

配列番号1~87で表されるアミノ酸配列は、ヒト由来IgGのFcフラグメントに結合性を有するペプチドの共通配列である。これらの共通配列は、上記のようなファージライブラリを、ヒト由来IgGのFcフラグメントに接触させて選択操作(バイオパニング)を行い、ヒト由来IgGのFcフラグメントに結合するペプチドを発現したファージ群のみを選択し、このファージのDNAを解析することにより、ファージ表面に呈示されたペプチドのアミノ酸配列を同定して得られたペプチドのアミノ酸配列を比較することにより決定したものである(実施例1の表2参照)。

[0031]

したがって、配列番号1~87で表されるアミノ酸配列、又はそれらのアミノ酸配列においてIgGのFcフラグメントに対する結合性が損なわれない範囲で修飾、アミノ酸残基の置換、挿入及び/又は欠失したアミノ酸配列から選ばれたアミノ酸配列を有するペプチド又は該ペプチドを表面に呈示しているファージは、ヒト由来IgGのFcフラグメントを特異的に認識することができるので、ヒト由来IgGの検出手段として好適に用いることができる。

[0032]

配列番号88~90で表されるアミノ酸配列は、ウマ由来IgGのFcフラグメントに結合性を有するペプチドの共通配列である。これらの共通配列は、ターゲット物質として、ウマ由来IgGのFcフラグメントを用い、上記と同様にしてファージディスプレイ法を行うことによって得られたペプチドのアミノ酸配列を比較することにより決定したものである(実施例6の表5参照)。

[0033]

したがって、配列番号88~90で表されるアミノ酸配列、又はそれらのアミノ酸配列においてIgGのFcフラグメントに対する結合性が損なわれない範囲で修飾、アミノ酸残基の置換、挿入及び/又は欠失したアミノ酸配列から選ばれたアミノ酸配列を有するペプチド又は該ペプチドを表面に呈示しているファージは、ウマ由来IgGのFcフラグメントを特異的に認識することができるので、ウマ由来IgGの検出手段として好適に用いることができる。

[0034]

配列番号91~93で表されるアミノ酸配列は、ヒツジ由来IgGのFcフラグメントに結合性を有するペプチドの共通配列である。これらの共通配列は、ターゲット物質として、ヒツジ由来IgGのFcフラグメントを用い、上記と同様にしてファージディスプレイ法を行うことによって得られたペプチドのアミノ酸配列を比較することにより決定したものである(実施例7の表7参照)。

[0035]

したがって、配列番号91~93で表されるアミノ酸配列、又はそれらのアミノ酸配列においてIgGのFcフラグメントに対する結合性が損なわれない範囲で修飾、アミノ酸残基の置換、挿入及び/又は欠失したアミノ酸配列から選ばれたアミノ酸配列を有するペプチド又は該ペプチドを表面に呈示しているファージは、ヒツジ由来IgGのFcフラグメントを特異的に認識することができるので、ヒツジ由来IgGの検出手段として好適に用いることができる。

[0036]

配列番号94~97で表されるアミノ酸配列は、ウサギ由来IgGのFcフラグメントに結合性を有するペプチドであり、ターゲット物質として、ウサギ由来IgGのFcフラグメントを用い、上記と同様にしてファージディスプレイ法を行うことにより、アミノ酸配

30

40

50

列を同定したものである(実施例8の表9参照)。

[0037]

したがって、配列番号94~97で表されるアミノ酸配列、又はそれらのアミノ酸配列においてIgGのFcフラグメントに対する結合性が損なわれない範囲で修飾、アミノ酸残基の置換、挿入及び/又は欠失したアミノ酸配列から選ばれたアミノ酸配列を有するペプチド又は該ペプチドを表面に呈示しているファージは、ウサギ由来IgGのFcフラグメントを特異的に認識することができるので、ウサギ由来IgGの検出手段として好適に用いることができる。

[0038]

配列番号98~104で表されるアミノ酸配列は、モルモット由来IgGのFcフラグメントに結合性を有するペプチドの共通配列である。これらの共通配列は、ターゲット物質として、モルモット由来IgGのFcフラグメントを用い、上記と同様にしてファージディスプレイ法を行うことによって得られたペプチドのアミノ酸配列を比較することにより決定したものである(実施例9の表11参照)。

[0039]

したがって、配列番号98~104で表されるアミノ酸配列、又はそれらのアミノ酸配列においてIgGのFcフラグメントに対する結合性が損なわれない範囲で修飾、アミノ酸残基の置換、挿入及び/又は欠失したアミノ酸配列から選ばれたアミノ酸配列を有するペプチド又は該ペプチドを表面に呈示しているファージは、モルモット由来IgGのFcフラグメントを特異的に認識することができるので、モルモット由来IgGの検出手段として好適に用いることができる。

[0040]

配列番号105~108で表されるアミノ酸配列は、ヤギ由来IgGのFcフラグメントに結合性を有するペプチドの共通配列である。これらの共通配列は、ターゲット物質として、ヤギ由来IgGのFcフラグメントを用い、上記と同様にしてファージディスプレイ法を行うことによって得られたペプチドのアミノ酸配列を比較することにより決定したものである(実施例10の表13参照)。

[0041]

したがって、配列番号105~108で表されるアミノ酸配列、又はそれらのアミノ酸配列においてIgGのFcフラグメントに対する結合性が損なわれない範囲で修飾、アミノ酸残基の置換、挿入及び/又は欠失したアミノ酸配列から選ばれたアミノ酸配列を有するペプチド又は該ペプチドを表面に呈示しているファージは、ヤギ由来IgGのFcフラグメントを特異的に認識することができるので、ヤギ由来IgGの検出手段として好適に用いることができる。

[0042]

配列番号109~131で表されるアミノ酸配列は、ネコ由来IgGのFcフラグメントに結合性を有するペプチドの共通配列である。これらの共通配列は、ターゲット物質として、ネコ由来IgGのFcフラグメントを用い、上記と同様にしてファージディスプレイ法を行うことによって得られたペプチドのアミノ酸配列を比較することにより決定したものである(実施例11の表15参照)。

[0043]

したがって、配列番号109~131で表されるアミノ酸配列、又はそれらのアミノ酸配列においてIgGのFcフラグメントに対する結合性が損なわれない範囲で修飾、アミノ酸残基の置換、挿入及び/又は欠失したアミノ酸配列から選ばれたアミノ酸配列を有するペプチド又は該ペプチドを表面に呈示しているファージは、ネコ由来IgGのFcフラグメントを特異的に認識することができるので、ネコ由来IgGの検出手段として好適に用いることができる。

[0044]

配列番号132~151で表されるアミノ酸配列は、イヌ由来IgGのFcフラグメントに結合性を有するペプチドの共通配列である。これらの共通配列は、ターゲット物質とし

20

30

40

50

て、イヌ由来 I g G の F c フラグメントを用い、上記と同様にしてファージディスプレイ法を行うことによって得られたペプチドのアミノ酸配列を比較することにより決定したものである(実施例 1 2 の表 1 7 参照)。

[0045]

[0046]

配列番号152~156で表されるアミノ酸配列は、ウシ由来IgGのFcフラグメントに結合性を有するペプチドの共通配列である。これらの共通配列は、ターゲット物質として、ウシ由来IgGのFcフラグメントを用い、上記と同様にしてファージディスプレイ法を行うことによって得られたペプチドのアミノ酸配列を比較することにより決定したものである(実施例13の表19参照)。

[0047]

したがって、配列番号 $152\sim156$ で表されるアミノ酸配列、又はそれらのアミノ酸配列において IgG の Fc フラグメントに対する結合性が損なわれない範囲で修飾、アミノ酸残基の置換、挿入及び/又は欠失したアミノ酸配列から選ばれたアミノ酸配列を有するペプチド又は該ペプチドを表面に呈示しているファージは、ウシ由来 IgG の Fc フラグメントを特異的に認識することができるので、ウシ由来 IgG の検出手段として好適に用いることができる。

[0048]

配列番号157~162で表されるアミノ酸配列は、ブタ由来IgGのFcフラグメントに結合性を有するペプチドの共通配列である。これらの共通配列は、ターゲット物質として、ブタ由来IgGのFcフラグメントを用い、上記と同様にしてファージディスプレイ法を行うことによって得られたペプチドのアミノ酸配列を比較することにより決定したものである(実施例14の表21参照)。

[0049]

したがって、配列番号157~162で表されるアミノ酸配列、又はそれらのアミノ酸配列においてIgGのFcフラグメントに対する結合性が損なわれない範囲で修飾、アミノ酸残基の置換、挿入及び/又は欠失したアミノ酸配列から選ばれたアミノ酸配列を有するペプチド又は該ペプチドを表面に呈示しているファージは、ブタ由来IgGのFcフラグメントを特異的に認識することができるので、ブタ由来IgGの検出手段として好適に用いることができる。

[0050]

配列番号163~164で表されるアミノ酸配列は、マウス由来IgGのFcフラグメントに結合性を有するペプチドの共通配列である。これらの共通配列は、ターゲット物質として、マウス由来IgGのFcフラグメントを用い、上記と同様にしてファージディスプレイ法を行うことによって得られたペプチドのアミノ酸配列を比較することにより決定したものである(実施例15の表23参照)。

[0051]

したがって、配列番号163~164で表されるアミノ酸配列、又はそれらのアミノ酸配列においてIgGのFcフラグメントに対する結合性が損なわれない範囲で修飾、アミノ酸残基の置換、挿入及び/又は欠失したアミノ酸配列から選ばれたアミノ酸配列を有するペプチド又は該ペプチドを表面に呈示しているファージは、マウス由来IgGのFcフラグメントを特異的に認識することができるので、マウス由来IgGの検出手段として好適に用いることができる。

[0052]

40

本発明においては、IgGの検出手段として用いられる上記ペプチド又は該ペプチドを表 面に呈示しているファージは、公知の方法により、蛍光物質や酵素等の標識物質を結合さ せてから用いることが好ましい。これにより、上記ペプチド又はファージを二次抗体の代 替 品 と し て 、 酵 素 免 疫 測 定 法 や 蛍 光 免 疫 測 定 法 等 に 利 用 す る こ と が で き る の で 、 抗 Ig G 抗体を用いた場合に比べて、より安価な酵素免疫測定法や蛍光免疫測定法等を提供できる

[0053]

上記蛍光物質としては、FITC(フルオレセイン)、Су3、Су5、А1еха等が 例示でき、例えば「超高感度酵素免疫測定法(石川栄治著 学会出版センター)」等に記 載の方法に従って、これらの蛍光物質を上記ペプチド又は該ペプチドを表面に呈示してい るファージに結合させることができる。

[0054]

また、上記酵素としては、HRP(ホースラディッシュペルオキシダーゼ)、AP(アル カリホスファターゼ)、β-D-ガラクトシダーゼ、グルコースー6-リン酸脱水素酵素 等が例示でき、例えば「超高感度酵素免疫測定法」(石川栄治著 学会出版センター)等 に記載の方法に従って、これらの酵素を上記ペプチド又は該ペプチドを表面に呈示してい るファージに結合させることができる。

[0055]

例えば、上記ペプチドに標識物質を結合させる場合には、ペプチドの末端等に標識物質と の結合に利用可能な適当なスペーサーを挿入してもよい。スペーサーを挿入することによ り、標識物質の結合を行いやすくなると共に、スペーサーの長さを調整することにより、 立体障害を回避してターゲット物質(IgGのFcフラグメント)との接触をより容易に することができ、検出感度の向上を図ることも可能となる。例えば、スペーサーがアミノ 酸やペプチドである場合は、それらのスペーサーを挿入したペプチドを簡単に合成するこ とができるので好ましい。

- [0056]
- 【実施例】

以下、実施例を挙げて本発明を具体的に説明する。

- [0057]
- 実施例1

(1)ヒト由来IgGのFcフラグメント(以下、human Fcと略記する。)に結 合性を有するペプチドのスクリーニング

ターゲット物質として、human Fcを用い、ファージディスプレイ法により、hu man Fcに結合性を有するペプチドのスクリーニングを以下のようにして行った。な お、ファージディスプレイ法では、M13ファージの表面のマイナータンパクpIIIに ペプチドがランダムに呈示されるライブラリ (呈示されるランダムアミノ酸数が7個、1 0個、12個のペプチドライブラリ)を、Smith, G. P., Science, 288, 1315-1317 (1985), J. K. Scott and

P. Smith, Science, 249, 386-390 (1990)等の 記載に基づいて作製し、この3種類のライブラリを用いた。

[0058]

ターゲットとなるhuman Fc(ICN/CAPPEL社製、PURIFIED F C)は、商品名「s u l f o N H S - L C - B i o t i n 」(ピア UMAN IGG ース社製)を用いてビオチン標識し、ストレプトアビジンでコートされた磁気ビーズ(商 品名「Dynabeads M280 streptavidin」、Dyanal社製)に、ビオチンーストレプトアビジン結合活性を利用して固定化した。この磁気ビーズは 非 特 異 的 な 結 合 を 最 低 限 に す る た め 、 2 % (w / v) ス キ ム ミ ル ク 溶 液 (1 0 m M リ ン 酸 バッファ、pH7. 4) に懸濁してブロッキングを行った。

[0059]

この磁気ビーズを用いて、常法にしたがってファージディスプレイ法(選択操作3回)を

行い、配列番号 $165\sim207$ で表されるhuman Fcに結合性を有するペプチドのアミノ酸配列を決定した。

- [0060]
- (2)得られたペプチドのhuman Fcに対する結合性の確認

ターゲットとなる h u m a n F c を、コーニング社製 E L I S A プレート(高結合タイプ)に以下のようにして固定化した。 h u m a n F c (I C N / C A P P E L 社製、P U R I F I E D H U M A N I G G F C) を 100μ g / m l となるように炭酸バッファ(100m M N a H C O $_3$ 、 p H 8 . 0)に溶解した溶液を調製し、この溶液を 100μ l ずつプレートのウェルに入れて 4 % で一晩放置して、 h u m a n F c フラグメントの固定化を行った。また、上記と同様にして、特異性の対照として、ニワトリ、ウサギ、ウマ、ヤギ由来の各種 I g G の F c フラグメント(いずれも R O C K L A N D 社製)を、コーニング社製 E L I S A プレート(高結合タイプ)に固定化した。

[0061]

なお、ウェルは24列用い、1列は抗human Fc抗体用(ポジティブコントロール)に、1列はhuman Fcに結合性を有さないペプチドを呈示するファージ用(ネガティブコントロール)とし、残りの22列は、配列番号165~167、169、170、172、173、175~189で表されるアミノ酸配列を有するペプチドを呈示したファージ用とした。

[0062]

一晩放置した後、各ウェル中の溶液を捨て、 300μ 1のブロッキングバッファ(2%0 w/v)スキムミルク PBS溶液)を、上記Fcフラグメント固定化ウェル、及びターゲット無しの空ウェル(コントロール用、24個)に加えて、2時間室温で放置した。

[0063]

一方、各ファージ(上記 2 2 種の h u m a n F c に結合性を有するペプチドを呈示した各ファージと、h u m a n F c に結合性を有さないペプチドを呈示したファージ)溶液(10^{1-1} p f u / μ l) 50μ l をブロッキングバッファ 650μ l に加えて 30 分放置し、非特異的結合の低減前処理を行った。また、抗 h u m a n F c 抗体(C A P P E L 社製、 r a b b i t a n t i h u m a n I g G F c a n t i s e r u m) 30μ l を 650μ l のブロッキングバッファに溶解し、同様に非特異的吸着低減処理を行った。

[0064]

各ウェルのブロッキングバッファを捨て、PBS-Tween(0.1%TweeninPBS)で5回洗浄した後、上記の各ファージ溶液と抗humanFc抗体溶液を、humanFc固定化ウェル、各動物種Fcフラグメント固定化ウェル、コントロール用ウェルに 100μ 1ずつ加え、1時間軽く撹拌(20rpm/min程度)しながら室温で放置した。

[0065]

そして、各ウェル中の溶液を捨て、 200μ lのPBS-Tweenで6回洗浄した後、各ウェルに、下記の発色用の抗体を含む溶液を 100μ lずつ加え、穏やかに撹拌しながら1時間放置した。

[0066]

・ペプチド呈示ファージを加えたウェル:商品名「anti M 1 3 antibody H R P monoclonal conjugate」(Amersham Biosceiences社製)を $4~\mu$ 1/2 0 m 1 となるようにブロッキングバッファに溶解した溶液。

[0067]

・抗human Fc抗体を加えたウェル:商品名「HRP—anti rabbit antibody (Goat)」(CAPPEL社製)を $0.2\mu1/m1$ となるように 2m1のブロッキングバッファに溶解した溶液。

[0068]

30

そして、各ウェル中の溶液を捨て、PBS-Tweeenで6回洗浄した後、ABTS発色溶液(ABTS(和光純薬製)を0.22mg/mlとなるようにクエン酸バッファ(50mM、pH4.0)に溶解し、使用直前に $1.8\mul/ml$ となるように30%過酸化水素水(和光純薬製)を加えたもの)を $200\mul$ でつ、各ウェルに加えて発色させて、吸光度(405nm)をプレートリーダー(「ARVO.SX」、ワラック社製)で測定した。その結果を図1に示す。なお、図1において、Y軸は各Fcフラグメント固定化ウェルの吸光度をコントロールのウェルの吸光度で割ったものである。

[0069]

[0070]

図 1 から、配列番号 1 6 5 ~ 1 6 7、 1 6 9、 1 7 0、 1 7 2、 1 7 3、 1 7 5~ 1 8 9 で表されるアミノ酸配列を有するペプチドを呈示したファージは、 h u m a n F c に対する特異性が高いことが分かる。一方、ポジティブコントロールの抗体は h u m a n F c 以外にも結合しており、ポリクローナルの未吸収血清では特異性が低いことが分かる。

(3) 得られた全てのペプチド(配列番号165~207)について、上記(2)と同様の方法(ELISA法)で、human Fcに対する結合性を調べた。その結果を表1に示す。なお、表1中の「発色値」は、human Fc(ターゲット物質)固定化ウェルの吸光度(405nm)/コントロール(空)ウェルの吸光度(405nm)を表し、「発色値」が大きいほど、human Fcに対する親和性が強いことを示す。

[0071]

【表1】

配列番号	発色値	配列番号	発色値
165	9. 57	187	17.52
166	21.86	188	15.86
167	21.70	189	12.85
168	21.86	190	17.52
169	13.8	191	15.86
170	19.04	192	12.85
171	13.8	193	15.0
172	6.42	194	16.5
173	10.67	195	12. 4
174	6.42	196	9.56
175	16.89	197	17.7
176	19. 29	198	18.9
177	19. 34	199	10.0
178	20. 3	200	13.3
179	6.93	201	14. 2
180	13. 52	202	18.4
181	16. 21	203	15. 1
182	20.09	204	10.1
183	7. 76	205	10.3
184	19. 59	206	12.7
185	15. 34	207	16.1
186	13. 0		

[0072]

表 1 から、配列番号 1 6 5 ~ 2 0 7 で表されるアミノ酸配列を有するペプチドは、 h u m a n F c に対する親和性が異なるものの、いずれも h u m a n F c に対して結合力を

20

30

40

有していることが分かる。

[0073]

(4)ペプチドの共通配列の検索

配列番号 1 6 5 \sim 2 0 7 で表されるアミノ酸配列を有するペプチドのアミノ酸配列から、表 2 のような組み合わせで共通配列の検索を行い、配列番号 1 \sim 8 7 で表される共通配列を決定した。

[0074]

【表2】

20

30

40

50

共通配列を求めるために使った配列 (配列番号)	200, 207	182, 200, 207	200, 207	199, 205	175, 176, 203, 205	178, 195	198, 205	199, 205	178, 203	187, 194	175, 176, 180, 201	175, 176, 203	175, 176, 203	180, 181	179, 195	179, 206	195, 206	179, 190	183, 184	182, 183	183, 203	
共通配列 (配列番号)	29	8.9	6 9	7.0	7.1	7.2	7.3	7.4	7.5	9 2	2.2	7.8	7.9	8 0	8 1	8 2	83		85	8 6	8.7	
共通配列を求めるために使った配列 めに使った配列 (配列番号)	179, 201	188, 204	187, 188, 195	184, 206	196, 197	179, 206	179, 184, 197	179, 197	179, 184	196, 206	179, 206	184, 197	193, 196	188, 197	180, 194, 197	177, 182, 185, 187, 19 8, 200, 201	196, 207	176, 205	177, 207	196, 200, 201	187, 200, 201, 206	196, 206
共通配列 (配列番号)	45	4 6	4.7	48	4 9	2 0	5 1	5.2	53	54	5.5	5 6	5.7	5.8	5 9	0 9	6.1	6.2	63	64	6.5	99
共通配列を求めるた めに使った配列 (配列番号)	179, 187	187, 194	189, 204	201, 204	187, 189, 201	203, 206	184, 203	179, 180, 194, 203	181, 206	180, 203	179, 206	194, 206	184, 194	179, 197	179, 184	184, 197	187, 204	189, 204	187, 200, 201	187, 189, 201	201, 204	187, 200
共通配列 (配列番号)	23	24	2.5	2 6	2.7	2.8	2.9	3.0	3.1	3.2	33	3.4	3 5	36	3.7	3 8	3.9	4 0	41	42	43	44
共通配列を求めるために使った配列 (配列番号)	165~167	168, 169, 174	166, 170	171~173	186	191	192	193	202	189, 190	177, 194	198, 201	200, 207	198, 207	175, 176, 184	180, 203	182, 205	182, 203	175, 176, 206	178, 188	175, 176, 178	175, 176, 188, 204
共通配列 (配列番号)	, - 1	2	3	4	5	9	7	8	6	10	11	12	13	14	1.5	9-	1.7	18	19	2.0	2.1	2.2

[0075]

実施例2

実施例 1 の h u m a n F c の代わりに、ヒト由来 I g G (C A P P E L 社製) そのものを用い、対照としてブタ、ウシ、マウス、ヤギ、ウサギ由来の各種 I g G (R O C K L A N D 社製) を用いた以外は、実施例 1 の (2) と同様の方法で実験を行い、配列番号 1 6 5 ~ 1 6 7 、 1 6 9 、 1 7 0 、 1 7 2 、 1 7 3 、 1 7 5 ~ 1 8 9 で表されるアミノ酸配列

40

を有するペプチドのヒト由来IgGに対する特異性を検討した。その結果を図2に示す。

[0076]

図 2 から分かるように、実施例 1 の場合とほぼ同様の結果が得られ、配列番号 1 6 5 \sim 1 6 7、 1 6 9、 1 7 0、 1 7 2、 1 7 3、 1 7 5 \sim 1 8 9 で表されるアミノ酸配列を有するペプチドは、ヒト由来 I g G そのものに対しても特異性が高いことが確認された。

[0077]

実施例3

human Fcに対して結合性を有するペプチドを呈示したファージを作製し、このファージを用いてhuman Fc及びhuman IgGに対する結合性を確認した。

[0078]

(1)配列番号166で表されるアミノ酸配列を有するペプチドがファージ(M 1 3)のp I I I マイナーコートタンパクのN末端に呈示されるように、以下の方法により、配列番号166で表されるアミノ酸配列を有するペプチドを指定するDNA配列を、ファージゲノム上のp I I I 遺伝子のリーディング鎖5、末端側に組み込んだ。

[0079]

上記 D N A 配列を導入するためのM 1 3 D N A としては、M 1 3 K E (New England Biolabs社製)を改変したものを用いた。このM 1 3 K E (改変型)の p I I I 遺伝子の 5 、末端側、すなわち、配列番号 1 6 6 で表されるアミノ酸配列を有するペプチドを指定する D N A 配列を挿入する部分の塩基配列を配列番号 2 8 8 に示す。配列番号 2 8 8 に示される塩基配列において、 $1 \sim 5$ 4 番目の塩基配列は p I I I タンパク質の N 末端にあるシグナル配列(V K K L L F A I P L V V P F Y S H S)をコードする部分、 5 5 \sim 6 6 番目の塩基配列はファージ p I I I タンパクと呈示させるペプチドとの間にスペースを作るためのフレキシブルリンカーをコードする部分であり、それ以降(6 7 番目以降)の塩基配列が実際のM 1 3 p I I I タンパク質をコードする部分である。

[080]

[0081]

配列番号 2 8 9 に示されるプライマーは、M 1 3 K E (改変型)の p I I I 遺伝子の 5 '末端の塩基配列(配列番号 2 8 8)中、 3 3 ~ 5 4 番目の塩基配列にアニーリングするように設計されたプライマーである。また、配列番号 2 9 0 に示されるプライマーの 1 ~ 2 1 番目の塩基配列は、配列番号 1 6 6 で表されるアミノ酸配列を有するペプチド(K L Y H L S I)をコードし、 2 2 ~ 4 3 番目の塩基配列は p I I I 遺伝子の 5 '末端の塩基配列(配列番号 2 8 8)中、 5 5 ~ 7 6 番目の塩基配列の相補鎖にアニーリングするように設計されたプライマーである。

[0082]

PCR反応終了後、増幅されたM13DNA(上記DNA配列が挿入されたM13DNA)の両末端を結合して、環状2本鎖M13DNAを構成するため、両末端を平滑化し、リン酸化し、リゲーション反応を行った。なお、この一連の反応は、商品名「BKLキット」(TaKaRa社製)を用いた。

[0083]

(2)組み込んだM13ファージゲノムDNAの大腸菌へのトランスフォーム 上記で得られたファージ2本鎖DNAをエレクトロポレーションにより大腸菌にトランス フォームした。

[0084]

まず、リゲーションを行ったM13DNA溶液から塩を除くため、エタノール沈殿法を行 50

40

50

い、滅菌済み超純水に再溶解した。ホストとなる大腸菌はJM109を用い、これを定法により予めエレクトロコンピテントセル(エレクトロポレーション用の前処理)とした。エレクトロポレーションはEСM399(BTX社製)のエレクトロポレーション用機器を用い、印可電圧は2500V、キャパシタンス25μ F、キュベットは2mm電極幅で行った。電圧を印可後、すぐにSOC培地を1ml加え試験管に移し、37℃で1時間振とう培養を行った。

- [0085]
- (3)配列番号166で表されるアミノ酸配列を有するペプチドを呈示したファージの選別

上記トランスフォームした大腸菌(JM109)をアガローストップ法によって選別した。トランスフォームされたかどうかはプラークによって確認できる(トランスフォームされた大腸菌(JM109)は青色のプラークとなって識別される。)。

[0086]

[0087]

出現したプラーク(1 2 個)を楊枝でつつき、それぞれ予め600nmの吸光度で0. 6 まで培養していた大腸菌(E R 2 5 3 7) 5 m l (L B 培地)に入れ、これを 3 7 $^{\circ}$ で 4 . 5 時間激しく振とう培養した。

[0088]

その後、それぞれの培養液を遠沈管に移して遠心(10000rpm、4 \mathbb{C} 、10min)し、上澄みを別の遠沈管に移し、更に同条件で再度遠心し、上澄みを別の遠沈管に移して上澄み液の1/5量のPEG・NaCl溶液(20%PEG#6000/2.5MNaCl)を加えて撹拌後、4 \mathbb{C} で一晩(4 時間以上)放置した。

[0089]

[0090]

それぞれのファージ溶液 50μ I を取り、常法に従ってファージの一本鎖 D N A を調製し、目的のペプチド(配列番号 166)が呈示されるファージであるかを、ダイ・プライマー法 D N A シークエンスによって確認した。

[0091]

シークエンスには、蛍光物質(Cy5)で5、末端を標識した配列番号291に示されるプライマー(プライマーの作製はSIGMA GENOSIS社に依頼)を用い、上記で調製したそれぞれの一本鎖M13DNAを鋳型に、「ThermoSequenasePrimer CycleSequencing Kit 7-deaza dGTP」(Amersham Biosciences社製)でシークエンス反応後、「ALFexpressII」(Amersham Biosciences社製)で、pIII遺伝子の5、

末端側の塩基配列を決定した。

[0092]

その結果、得られた全てのファージ(12個)で、所定の箇所(配列番号288に示される塩基配列において、シグナル配列をコードする部分(1~54番目の塩基配列)とフレキシブルリンカーをコードする部分(55~66番目)との間)に、配列番号166で表されるアミノ酸配列を有するペプチドの指定配列(AAACTTTATCATC

40

50

TATT)が挿入されていることが確認され、これらのファージが、pIIIマイナーコートタンパクのN末端に配列番号166で表されるアミノ酸配列を有するペプチドを呈示していることが確認された。

[0093]

(4) 選別されたファージがhuman Fc及びhuman IgG本体に結合するかの確認実施例1(2)、及び実施例2と同様の方法で、選別されたファージのhuman Fc及びhuman IgG本体に対する結合性を確認した。その結果を表3に示す。なお、表3中の「発色値」は、ターゲット物質(human Fc又はhuman IgG)固定化ウェルの吸光度(405nm)/コントロール(空)ウェルの吸光度(405nm)を表し、「発色値」が大きいほど、ターゲット物質に対する親和性が強いことを示す。

[0094]

【表3】

ターゲット物質	発色値
human Fc	14. 4
human IgG	12. 5

[0095]

表 3 から、上記の方法により作製した配列番号 1 6 6 で表されるアミノ酸配列を有するペ 20プチドを呈示するファージは、human Fc及びhuman IgGに対して結合性を有することが分かる。

[0096]

実施例4

(1) HRP標識されたファージの作製

ファージのHRP標識には、商品名「ActiZyme-HRP:Activated Peroxydase Kit」(ZYMED社製)を用い、以下のようにしてファージのHRP標識を行った。

[0097]

[0098]

[0099]

インキュベート後、未反応の「Activated Peroxydase」を反応させるため、1 M L y s i n e 溶液を 4 0 0 μ 1 加えて室温で2 時間放置した。次に、余分な H R P や L y s i n e を除去するため、上記反応後のファージ溶液に、P E G 溶液(2 0 % P E G # 6 0 0 0、2.5 M N a C 1)2 5 0 μ 1 を加えて撹拌し、氷中に 3 0 分放置した後、遠心(1 0 0 0 0 r p m、1 0 分)して上清を除去し、P B S (1 0 m M リン酸、1 4 0 m M N a C 1、p H 7.4)1 m 1 を加えて沈殿を再懸濁した。この再懸濁に、P E G 溶液を 2 0 0 μ 1 加えて氷中に 3 0 分放置してから、遠心(1 0 0 0 0 r p m、1 0 分)して上清を除去した。このような操作を 3 回繰り返して行い、最終的に得られた沈殿に P B S を 5 0 0 μ 1 加えて懸濁し、H R P 標識されたファージ(H R P 標識ファージという)を含む溶液を得た。このようにして得られた H R P 標識ファージは、1 ケ月程度であれば冷蔵庫で保存可能であり、数ケ月保存する場合は、5 0 %となるようにグリセロールを加えて - 2 0 + 0

[0100]

(2) human Fcの検出

上記HRP標識ファージを用いて、human Fcを検出できるかどうかを確認した。 これによって、ヒト由来IgG自体の検出も可能であることが示唆される。

[0101]

まず、human Fc(ICN/CAPPEL社製、PURIFIED HUMAN IGG FC)を 100μ g/mlとなるように炭酸バッファ(100mM NaHCO 3、pH8.0)に溶解した溶液を調製し、この溶液を 100μ 1ずつ、96穴のELI SAプレート(コーニング社製、Costar高結合タイプ、cat. No9018)のウェルに入れて4 % で一晩放置して、human Fcフラグメントの固定化を行った

[0102]

固定化後、各ウェル中の溶液を捨て、 300μ 1のブロッキングバッファ(2%0w/v)スキムミルク PBS溶液)を、human Fc固定化ウェル、及び空ウェル(コントロール用)に加えて、室温で1時間放置した。

[0103]

一方、上記 H R P 標識ファージを含む溶液 5 0 μ l をブロッキングバッファ 2 0 0 μ l に 30 加えて 1 5 分放置し、非特異的結合の低減前処理を行った。

[0104]

各ウェルのブロッキングバッファを捨て、PBS-Tween(0.1%TweeninPBS)で5回洗浄した後、上記の非特異的結合の低減前処理を行ったHRP標識ファージ溶液を、humanFc固定化ウェル及びコントロール用ウェルに 100μ 1ずつ加え、軽く撹拌(20rpm/min程度)しながら室温で 1 時間放置した。

[0105]

そして、各ウェル中の溶液を捨て、200μ1のPBS-Tweeenで7回洗浄した後、ABTS発色溶液(ABTS(和光純薬製)を0.22mg/mlとなるようにクエン酸バッファ(50mM、pH4.0)に溶解して作製し、使用直前に1.8μ1/mlとなるように30%過酸化水素水(和光純薬製)を加えたもの)を200μ1ずつ、各ウェルに加えて発色させて、吸光度(405nm)をプレートリーダー(「ARVO.SX」、ワラック社製)で測定した。その結果を図3に示す。なお、図3において、Y軸は、human Fc固定化ウェルの吸光度(405nm)/コントロール(空)ウェルの吸光度(405nm)を表し、X軸の1、2、3、4、5は、それぞれPeroxydase濃度が1mg/ml、0.5ml/ml、0.25mg/ml、0.125mg/ml、0.0625mg/mlのPeroxydase溶液を用いて標識したファージの結果を表す。

[0106]

図3から、直接HRPで標識した、配列番号166で表されるアミノ酸配列を有するペプ 50

チドを呈示するファージを用いることにより、human Fcを検出できることが分かる。

[0107]

実施例5

配列番号 173 で表されるアミノ酸配列を有するペプチドを呈示するファージを用いた以外は、実施例 3 と同様にしてファージのHRP標識を行い、human Fcの検出を行った。その結果を図 4 に示す。なお、図 4 において、Y 軸は、human Fc固定化ウェルの吸光度(405 n m)/コントロール(空)ウェルの吸光度(405 n m)を表し、X 軸の 1、2、3、4、5 は、それぞれPeroxydase濃度が1 mg/ml、0. 5 m 1/ml、0. 25 mg/ml、0. 125 mg/ml、0. 0625 mg/mlの 10 の 125 mg/ml、125 mg/ml

[0108]

図4から、直接HRPで標識した、配列番号173で表されるアミノ酸配列を有するペプチドを呈示するファージを用いることにより、human Fcを検出できることが分かる。

[0109]

以上の結果から、直接HRPで標識した、human Fcに対して結合性を有するペプチドを呈示したファージを用いることにより、human Fcを検出でき、二次抗体の代替品として十分に利用できることが示唆される。

[0110]

実施例6

ターゲット物質として、ウマ由来 I g G の F c フラグメント(以下、 h o r s e F c と略記する。)を用いた以外は、実施例 1 の(1)と同様にしてファージディスプレイ法(選択操作 4 回)を行い、 h o r s e F c に対して結合性を有するペプチドのスクリーニングを行い、配列番号 2 0 8 \sim 2 1 2 で表されるアミノ酸配列を有するペプチドのアミノ酸 配列を同定した。

[0111]

得られた全てのペプチド(配列番号 $208\sim212$)について、実施例 1(2) と同様の方法(ELISA法)で、horse Fcに対する結合性を調べた。その結果を表 4 に示す。なお、表 3 中の「発色値」は、horse Fc(ターゲット物質)固定化ウェルの吸光度(405 nm)/コントロール(空)ウェルの吸光度(405 nm)を表し、「発色値」が大きいほど、horse Fcに対する親和性が強いことを示す。

[0112]

【表4】

配列番号	発色値
208	12.0
209	15.5
210	18.0
211	2.11
212	2.05

40

50

20

30

[0113]

表4から、配列番号208~212で表されるアミノ酸配列を有するペプチドは、horse Fcに対する親和性が異なるものの、いずれもhorse Fcに対して結合力を有していることが分かる。

[0114]

また、配列番号208~212で表されるアミノ酸配列を有するペプチドのアミノ酸配列から、表5のような組み合わせで共通配列の検索を行い、配列番号88~90で表される共通配列を決定した。

[0115]

【表5】

共通配列	共通配列を求めるために
(配列番号)	使った配列(配列番号)
8 8	208
8 9	211, 212
9 0	209, 210

[0116]

10

実施例7

[0117]

[0118]

【表6】

配列番号	発色値
213	2.08
214	5.11
215	2. 93
216	2.04

30

[0119]

表 6 から、配列番号 2 1 3 ~ 2 1 6 で表されるアミノ酸配列を有するペプチドは、 s h e e p F c に対する親和性が異なるものの、いずれも s h e e p F c に対して結合力を有していることが分かる。

[0120]

また、配列番号 2 1 3 \sim 2 1 6 で表されるアミノ酸配列を有するペプチドのアミノ酸配列から、表 7 のような組み合わせで共通配列の検索を行い、配列番号 9 1 \sim 9 3 で表される共通配列を決定した。

[0121]

40

【表7】

共通配列	共通配列を求めるために
(配列番号)	使った配列(配列番号)
9 1	213
9 2	214, 215
9 3	215, 216

[0122]

実施例8

ターゲット物質として、ウサギ由来 I g G の F c フラグメント(以下、r a b b i t F c と略記する。)を用いた以外は、実施例 1 の(1)と同様にしてファージディスプレイ法(選択操作 4 回)を行い、r a b b i t F c に対して結合性を有するペプチドのスクリーニングを行い、配列番号 2 1 7 \sim 2 2 0 で表されるアミノ酸配列を有するペプチドのアミノ酸配列を同定した。

[0123]

[0124]

【表8】

配列番号	発色値
217	1. 33
218	3.14
219	1.53
220	2.48

$[0 \ 1 \ 2 \ 5]$

表8から、配列番号217~220で表されるアミノ酸配列を有するペプチドは、rabbit Fcに対する親和性が異なるものの、いずれもrabbit Fcに対して結合力を有していることが分かる。

[0126]

また、配列番号217~220で表されるアミノ酸配列を有するペプチドのアミノ酸配列から、表9のような組み合わせで共通配列の検索を行い、配列番号94~97で表される共通配列を決定した。

[0127]

【表9】

共通配列	共通配列を求めるために
(配列番号)	使った配列(配列番号)
9 4	217
9 5	218
9 6	219
9 7	220

[0128]

実施例9

ターゲット物質として、モルモット由来 I g G の F c フラグメント(以下、g u i n e a p i g F c と略記する。)を用いた以外は、実施例 1 の(1)と同様にしてファージディスプレイ法(選択操作 4 回)を行い、g u i n e a p i g F c に対して結合性を有するペプチドのスクリーニングを行い、配列番号 2 2 1 ~ 2 2 7 で表されるアミノ酸配列を有するペプチドのアミノ酸配列を同定した。

[0129]

20

30

(405nm)を表し、「発色値」が大きいほど、guinea pig Fcに対する 親和性が強いことを示す。

[0130]

【表10】

配列番号	発色値
221	1.49
222	7.36
223	4.76
224	10.6
225	9.66
226	5. 20
227	4. 72

10

[0 1 3 1]

表10から、配列番号221~227で表されるアミノ酸配列を有するペプチドは、guinea pig Fcに対する親和性が異なるものの、いずれもguinea pig Fcに対して結合力を有していることが分かる。

[0132]

また、配列番号 $2 \ 2 \ 1 \sim 2 \ 2 \ 7$ で表されるアミノ酸配列を有するペプチドのアミノ酸配列 20 から、表 $1 \ 1$ のような組み合わせで共通配列の検索を行い、配列番号 $9 \ 8 \sim 1 \ 0 \ 4$ で表される共通配列を決定した。

[0133]

【表11】

共通配列	共通配列を求めるために
(配列番号)	使った配列(配列番号)
9 8	221
9 9	222
100	223
101	227
102	224, 225
103	224, 226
104	225, 226

30

[0134]

実施例10

[0135]

得られた全てのペプチド(配列番号 $2 2 8 \sim 2 3 2$)について、実施例 1 (2)と同様の方法(ELISA法)で、goat Fcに対する結合性を調べた。その結果を表 1 2 に示す。なお、表 1 2 中の「発色値」は、goat Fc(9 ーゲット物質)固定化ウェルの吸光度(405nm)/コントロール(空)ウェルの吸光度(405nm)を表し、「発色値」が大きいほど、goat Fcに対する親和性が強いことを示す。

[0136]

【表12】

配列番号	発色値
228	4.05
229	5.31
230	4.77
231	6. 31
232	8.01

[0137]

表12から、配列番号228~232で表されるアミノ酸配列を有するペプチドは、go at Fcに対する親和性が異なるものの、いずれもgoat Fcに対して結合力を有していることが分かる。

[0138]

また、配列番号228~232で表されるアミノ酸配列を有するペプチドのアミノ酸配列から、表13のような組み合わせで共通配列の検索を行い、配列番号105~108で表される共通配列を決定した。

[0139]

【表13】

共通配列を求めるために
使った配列(配列番号)
229
230
231
228, 232

[0140]

実施例11

ターゲット物質として、ネコ由来 I g G の F c フラグメント(以下、c a t F c と略記する。)を用いた以外は、実施例 1 の(1)と同様にしてファージディスプレイ法(選択操作 4 回)を行い、c a t F c に対して結合性を有するペプチドのスクリーニングを行い、配列番号 2 3 3 ~ 2 4 8 で表されるアミノ酸配列を有するペプチドのアミノ酸配列を同定した。

[0141]

得られた全てのペプチド(配列番号 2 3 3 ~ 2 4 8)について、実施例 1 (2)と同様の方法(ELISA法)で、 c a t F c に対する結合性を調べた。その結果を表 1 4 に示す。なお、表 1 4 中の「発色値」は、 c a t F c (ターゲット物質)固定化ウェルの吸光度(4 0 5 n m)/コントロール(空)ウェルの吸光度(4 0 5 n m)を表し、「発色値」が大きいほど、 c a t F c に対する親和性が強いことを示す。

[0142]

【表14】

20

30

配列番号	発色値	配列番号	発色値
233	6.23	241	5.58
234	2.68	242	8. 79
235	3.19	243	6.84
236	4. 32	244	3. 45
237	3. 90	245	3. 27
238	5.11	246	4.10
239	5.94	247	3.08
240	4.52	248	30. 4

20

[0143]

表14から、配列番号233~248で表されるアミノ酸配列を有するペプチドは、cat Fcに対する親和性が異なるものの、いずれもcat Fcに対して結合力を有していることが分かる。

[0144]

また、配列番号 2 3 3 \sim 2 4 8 で表されるアミノ酸配列を有するペプチドのアミノ酸配列から、表 1 5 のような組み合わせで共通配列の検索を行い、配列番号 1 0 9 \sim 1 3 1 で表される共通配列を決定した。

[0145]

【表 1 5】

共通配列	共通配列を求めるた	共通配列	共通配列を求めるた
(配列番号)	めに使った配列	(配列番号)	めに使った配列
	(配列番号)		(配列番号)
109	233	1 2 1	242, 243, 245
110	234	1 2 2	236, 244
1 1 1	235	1 2 3	241, 243
1 1 2	238, 240, 242, 243	1 2 4	244, 247
1 1 3	241, 242	1 2 5	241, 246
114	243, 245, 247	126	240, 241
1 1 5	239, 243	127	236, 239
1 1 6	242, 247	128	239, 244
117	236, 237, 241	129	236, 237, 241, 244
1.18	244, 246	130	246, 248
119	236, 237, 238	1.3.1	236, 237, 240
1 2 0	242, 248		

30

[0146]

40

実施例12

ターゲット物質として、イヌ由来 I g G の F c フラグメント(以下、d o g F c と略記する。)を用いた以外は、実施例 1 の(1)と同様にしてファージディスプレイ法(選択操作 4 回)を行い、d o g F c に対して結合性を有するペプチドのスクリーニングを行い、配列番号 2 4 9 \sim 2 6 1 で表されるアミノ酸配列を有するペプチドのアミノ酸配列を同定した。

[0147]

光度(405nm)/コントロール(空)ウェルの吸光度(405nm)を表し、「発色値」が大きいほど、dog Fcに対する親和性が強いことを示す。

[0148]

【表16】

配列番号	発色値	配列番号	発色値
249	7.38	256	7. 12
250	6.45	257	8. 92
251	7.53	258	4. 27
252	6.76	259	7.12
253	8. 92	260	4. 56
254	9.12	261	7. 77
255	7. 67		

$[0 \ 1 \ 4 \ 9]$

表 1 6 から、配列番号 2 4 9 ~ 2 6 1 で表されるアミノ酸配列を有するペプチドは、 d o g F c に対する親和性が異なるものの、いずれも d o g F c に対して結合力を有していることが分かる。

[0150]

また、配列番号 $249 \sim 261$ で表されるアミノ酸配列を有するペプチドのアミノ酸配列 20から、表 170 ような組み合わせで共通配列の検索を行い、配列番号 $132 \sim 151$ で表される共通配列を決定した。

[0151]

【表17】

共通配列	共通配列を求めるた	共通配列	共通配列を求めるた
(配列番号)	めに使った配列	(配列番号)	めに使った配列
	(配列番号)		(配列番号)
1 3 2	249	142	254, 260, 261
1 3 3	250	1 4 3	251, 256
134	257	1 4 4	251, 252
1 3 5	252, 254, 259	1 4 5	251, 255
1 3 6	252~254	1 4 6	253, 259
1 3 7	252, 256	147	258, 260, 261
1 3 8	255, 256	148	260, 261
1 3 9	253, 258	149	256, 260, 261
140	253, 255	150	259~261
141	253, 256	151	251, 259

[0152]

実施例 1 3

ターゲット物質として、ウシ由来 I g G の F c フラグメント(以下、 b o v i n e F c と略記する。)を用いた以外は、実施例 1 の(1)と同様にしてファージディスプレイ法(選択操作 4 回)を行い、 b o v i n e F c に対して結合性を有するペプチドのスクリーニングを行い、配列番号 2 6 2 ~ 2 6 7 で表されるアミノ酸配列を有するペプチドのアミノ酸配列を同定した。

[0153]

得られた全てのペプチド(配列番号262~267)について、実施例1 (2) と同様の方法(ELISA法)で、bovine Fcに対する結合性を調べた。その結果を表18に示す。なお、表18中の「発色値」は、bovine Fc (ターゲット物質) 固定

10

30

40

化ウェルの吸光度(405nm)/コントロール(空)ウェルの吸光度(405nm)を 表し、「発色値」が大きいほど、bovine Fcに対する親和性が強いことを示す。

$[0\ 1\ 5\ 4]$

【表18】

配列番号	発色値
262	7.03
263	6.62
264	5.00
265	4.61
266	5.42
267	3.05

10

[0155]

表18から、配列番号262~267で表されるアミノ酸配列を有するペプチドは、bo vine Fcに対する親和性が異なるものの、いずれもbovine Fcに対して結 合力を有していることが分かる。

[0156]

また、配列番号262~267で表されるアミノ酸配列を有するペプチドのアミノ酸配列 から、表19のような組み合わせで共通配列の検索を行い、配列番号152~156で表 20 される共通配列を決定した。

[0157]

【表19】

共通配列	共通配列を求めるために
(配列番号)	使った配列(配列番号)
1 5 2	262, 263
153	262, 264
154	264, 265
155	266
156	267

30

[0158]

実施例14

ターゲット物質として、ブタ由来 IgGのFcフラグメント(以下、swine Fcと 略記する。)を用いた以外は、実施例1の(1)と同様にしてファージディスプレイ法(選択操作4回)を行い、swine Fcに対して結合性を有するペプチドのスクリーニ ングを行い、配列番号268~277で表されるアミノ酸配列を有するペプチドのアミノ 酸配列を同定した。

[0159]

40

得られた全てのペプチド(配列番号268~277)について、実施例1(2)と同様の 方法(ELISA法)で、swine Fcに対する結合性を調べた。その結果を表20 に示す。なお、表20中の「発色値」は、swine Fc (ターゲット物質) 固定化ウ ェルの吸光度(405nm)/コントロール(空)ウェルの吸光度(405nm)を表し 、「発色値」が大きいほど、swine Fcに対する親和性が強いことを示す。

[0160]

【表20】

配列番号	発色値	配列番号	発色値
268	2. 31	273	2.69
269	4.07	274	3.48
270	4. 79	275	4.43
271	4. 59	276	3. 33
272	2.55	277	6. 21

[0161]

表20から、配列番号268~277で表されるアミノ酸配列を有するペプチドは、sw 1ine Fcに対する親和性が異なるものの、いずれもswine Fcに対して結合力を有していることが分かる。

[0162]

また、配列番号268~277で表されるアミノ酸配列を有するペプチドのアミノ酸配列から、表21のような組み合わせで共通配列の検索を行い、配列番号157~162で表される共通配列を決定した。

[0163]

【表21】

共通配列	共通配列を求めるために
(配列番号)	使った配列(配列番号)
1 5 7	268
158	269, 270
1.59	269, 271, 272, 275~277
160	270, 273
161	273, 274
162	273, 274

[0164]

実施例15

[0165]

得られた全てのペプチド(配列番号 2 7 8 ~ 2 8 0)について、実施例 1 (2)と同様の方法(E L I S A 法)で、mouse F c に対する結合性を調べた。その結果を表 2 2 に示す。なお、表 2 2 中の「発色値」は、mouse F c (ターゲット物質)固定化ウェルの吸光度(4 0 5 nm)/コントロール(空)ウェルの吸光度(4 0 5 nm)を表し、「発色値」が大きいほど、mouse F c に対する親和性が強いことを示す。

[0166]

【表22】

配列番号	発色値
278	2.21
279	3. 78
280	1.40

20

30

40

[0167]

表22から、配列番号278~280で表されるアミノ酸配列を有するペプチドは、mouse Fcに対する親和性が異なるものの、いずれもmouse Fcに対して結合力を有していることが分かる。

[0168]

また、配列番号278~280で表されるアミノ酸配列を有するペプチドのアミノ酸配列から、表23のような組み合わせで共通配列の検索を行い、配列番号163~164で表される共通配列を決定した。

[0169]

【表23】

共通配列 (配列番号)	共通配列を求めるために 使った配列 (配列番号)
163	280
164	278, 279

[0170]

「配列表フリーテキスト」

配列番号1~87:ファージディスプレイ法で得られたヒト由来 I g G の F c フラグメントに結合性を有するペプチドから決定された共通配列である。

配列番号88~90:ファージディスプレイ法で得られたウマ由来 I g G の F c フラグメ 20 ントに結合性を有するペプチドから決定された共通配列である。

配列番号91~93:ファージディスプレイ法で得られたヒツジ由来IgGのFcフラグメントに結合性を有するペプチドから決定された共通配列である。

配列番号94~97:ファージディスプレイ法で得られたウサギ由来 I g G の F c フラグメントに結合性を有するペプチドから決定されたアミノ酸配列である。

配列番号98~104:ファージディスプレイ法で得られたモルモット由来 I g G の F c フラグメントに結合性を有するペプチドから決定された共通配列である。

配列番号105~108:ファージディスプレイ法で得られたヤギ由来 I g G の F c フラグメントに結合性を有するペプチドから決定された共通配列である。

配列番号109~131:ファージディスプレイ法で得られたネコ由来 I g G の F c フラ 30 グメントに結合性を有するペプチドから決定された共通配列である。

配列番号132~151:ファージディスプレイ法で得られたイヌ由来 I g G の F c フラグメントに結合性を有するペプチドから決定された共通配列である。

配列番号152~156:ファージディスプレイ法で得られたウシ由来 I g G の F c フラグメントに結合性を有するペプチドから決定された共通配列である。

配列番号157~162:ファージディスプレイ法で得られたブタ由来 I g G の F c フラグメントに結合性を有するペプチドから決定された共通配列である。

配列番号163~164:ファージディスプレイ法で得られたマウス由来IgGのFcフラグメントに結合性を有するペプチドから決定された共通配列である。

配列番号165~207:ファージディスプレイ法によって得られた、ヒト由来 I g G の 40 F c フラグメントに結合性を有するペプチドである。

配列番号208~212:ファージディスプレイ法によって得られた、ウマ由来IgGのFcフラグメントに結合性を有するペプチドである。

配列番号213~216:ファージディスプレイ法によって得られた、ヒツジ由来IgGのFcフラグメントに結合性を有するペプチドである。

配列番号217~220:ファージディスプレイ法によって得られた、ウサギ由来IgGのFcフラグメントに結合性を有するペプチドである。

配列番号221~227:ファージディスプレイ法によって得られた、モルモット由来IgGのFcフラグメントに結合性を有するペプチドである。

配列番号228~232:ファージディスプレイ法によって得られた、ヤギ由来 I g G の 50

Fcフラグメントに結合性を有するペプチドである。

配列番号233~248:ファージディスプレイ法によって得られた、ネコ由来 IgGのFcフラグメントに結合性を有するペプチドである。

配列番号249~261:ファージディスプレイ法によって得られた、イヌ由来IgGのFcフラグメントに結合性を有するペプチドである。

配列番号262~267:ファージディスプレイ法によって得られた、ウシ由来IgGのFcフラグメントに結合性を有するペプチドである。

配列番号268~277:ファージディスプレイ法によって得られた、ブタ由来IgGのFcフラグメントに結合性を有するペプチドである。

配列番号278~280:ファージディスプレイ法によって得られた、マウス由来IgGのFcフラグメントに結合性を有するペプチドである。

配列番号 2 8 1 ~ 2 8 7 : 非特許文献 1 に記載されたヒト由来 I g G の F c フラグメントに結合性を有するペプチドである。

配列番号288: M 1 3 K E (改変型) の p I I I 遺伝子の 5 、末端側の塩基配列である

配列番号289: M13KE(改変型)のpIII遺伝子の5、末端の塩基配列(配列番号288)中、33~54番目の塩基配列にアニーリングするように設計されたプライマーである。

配列番号 290: 配列番号 166 で表されるアミノ酸配列を有するペプチド(KLYHLSI)をコードする塩基配列を含み、かつ p III 遺伝子の 5 、末端の塩基配列(配列番号 288)中、 $55\sim76$ 番目の塩基配列の相補鎖にアニーリングするように設計されたプライマーである。

配列番号291:M13DNAのシークエンス用のプライマーである。

[0171]

【発明の効果】

以上説明したように本発明によれば、上記のIgGのFcフラグメントに結合性を有するペプチド又は該ペプチドを表面に呈示しているファージを、IgGの検出手段として用いることにより、抗IgG抗体を用いた検出系に比べて、より安価なIgGの検出系を提供できる。また、抗IgG抗体のような品質のばらつきがないので、より安定したIgGの検出系を提供できる。

[0172]

【配列表】

30

SEQUENCE LISTING

⟨110⟩	PEPTIDE DOOR Co., Ltd.	
〈120〉 を用い	IgGに結合性を有するペプチド又は該ペプチドを表面に呈示したファージ たIgGの検出方法	
⟨130⟩	MP-1571	10
⟨160⟩	291	
⟨170⟩	PatentIn version 3.1	
⟨210⟩	1	20
⟨211⟩	6	
⟨212⟩	PRT	
⟨213⟩	Artificial	
⟨220⟩		
⟨223⟩	Peptide binding to human IgG Fc fragment obtained from a combinat orial phage display peptide library	30
⟨220⟩		
〈221〉	MISC_FEATURE	
⟨222⟩	(3)(3)	
⟨223⟩	Xaa stands for Phe or Tyr	
		40

⟨220⟩

```
(221) MISC_FEATURE
(222)
      (4)...(4)
(223) Xaa stands for His or Phe
(400) 1
                                                                                       10
Lys Leu Xaa Xaa Leu Ser
1
⟨210⟩ 2
(211) 5
⟨212⟩
      PRT
                                                                                       20
⟨213⟩
      Artificial
\langle 220 \rangle
(223)
      Peptide binding to human IgG Fc fragment obtained from a combinat
       orial phage display peptide library
(220)
                                                                                       30
⟨221⟩
      MISC_FEATURE
      (4)..(4)
(222)
(223)
      Xaa stands for Val or Thr
(400) 2
```

Lys Thr Tyr Xaa Ser

⟨210⟩ 3

⟨211⟩ 5

⟨212⟩ PRT

(213) Artificial

(220)

(223) Peptide binding to human IgG Fc fragment obtained from a combinat orial phage display peptide library

(220)

(221) MISC_FEATURE

20

⟨222⟩ (1)..(1)

(223) Xaa stands for Lys or Arg

(400) 3

Xaa Leu Tyr His Leu

1 5

30

⟨210⟩ 4

⟨211⟩ 7

⟨212⟩ PRT

(213) Artificial

	de binding to human IgG Fc fragment obtained from a combinat phage display peptide library	
⟨222⟩ (3)	FEATURE (3) tands for Ile or Lys	10
⟨222⟩ (4)	FEATURE (4) tands for Ser or Thr	20
⟨222⟩ (6)	FEATURE (6) tands for Phe or Gln	30
	Xaa Val Xaa Leu 5	40

〈211〉 〈212〉	12 PRT	
〈213〉	Artificial	
〈220〉 〈223〉	Peptide binding to human IgG Fc fragment obtained from a combinat orial phage display peptide library	10
⟨400⟩	5	
Gly Le	u Tyr Thr Ser Ser Leu Arg Phe Trp Pro Pro 5 10	
/\		20
⟨210⟩	6	
$\langle 211 \rangle$	12	
〈212〉	PRT	
$\langle 213 \rangle$	Artificial	
〈220〉 〈223〉	Peptide binding to human IgG Fc fragment obtained from a combinat orial phage display peptide library	30
⟨400⟩	6	
Ala Tr	p Arg Thr Ser Thr Leu Ser Ser His Val Pro 5 10	40

〈210〉	7	
⟨211⟩	12	
⟨212⟩	PRT	
⟨213⟩	Artificial	
⟨220⟩		
⟨223⟩	Peptide binding to human IgG Fc fragment obtained from a combinat	10
	orial phage display peptide library	
〈400〉	7	
Lys Let	u Tyr Ser Ser Glm Pro Glm Trp Leu Leu Pro	
1	5 10	
		20
(0.0)		
(210)	8	
(211)	12	
(212)	PRT	
⟨213⟩	Artificial	
/000\		20
〈220〉	Partile timing to love a Too De Proposat stational from a continut	30
⟨223⟩	Peptide binding to human IgG Fc fragment obtained from a combinat	
	orial phage display peptide library	
/40n\	8	
〈400〉	O CONTRACTOR OF THE CONTRACTOR	
Gly Va	l Tyr Thr Ser His Met Ala Asn Trp Ser Met	
1	5 10	40
-		

(210) 9 ⟨211⟩ 12 ⟨212⟩ PRT ⟨213⟩ Artificial (220) 10 Peptide binding to human IgG Fc fragment obtained from a combinat (223) orial phage display peptide library **(400)** 9 Gly Tyr Ile Lys Ser Ser Leu Ser Ala Asn Thr Thr 1 5 10 20 ⟨210⟩ 10 ⟨211⟩ 9 ⟨212⟩ PRT ⟨213⟩ Artificial 30 (220) Peptide binding to human IgG Fc fragment obtained from a combinat (223) orial phage display peptide library (220) MISC_FEATURE $\langle 221 \rangle$ 40 (222) (2)..(2)(223) Xaa stands for Thr or Gln

⟨220⟩		
⟨221⟩	MISC_FEATURE	
⟨222⟩	(3)(3)	
⟨223⟩	Xaa stands for Thr or Asn	
. \		
(220)		
(221)	MISC_FEATURE	
	(5)(5)	
(223)	Xaa stands for Arg or Ile	
(220)		
(221)	MISC_FEATURE	
	(7)(7)	
(223)	Xaa stands for Ser or Arg	
/eee\		
〈220〉	MISC EDANIDE	
(221)	MISC_FEATURE	
	(8)(8)	
(223)	Xaa stands for Val or Leu	
/40 0 \	10	
〈400〉	10	

Pro Xaa Xaa Tyr Xaa Ser Xaa Xaa Ser

(210) 11

⟨211⟩ 5

⟨212⟩ PRT

(213) Artificial

(220)

(223) Peptide binding to human IgG Fc fragment obtained from a combinat orial phage display peptide library

(220)

(221) MISC_FEATURE

20

10

⟨222⟩ (2)..(2)

(223) Xaa stands for Ala or Thr

(400) 11

Arg Xaa Ser Thr Leu

1 5

〈210〉 12

⟨211⟩ 4

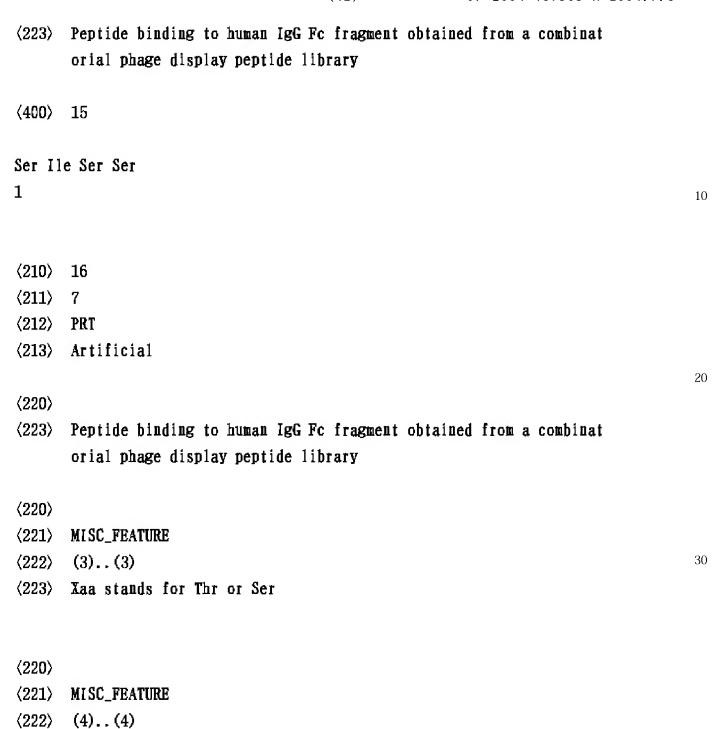
⟨212⟩ PRT

(213) Artificial

30

〈220〉 〈223〉	Peptide binding to human IgG Fc fragment obtained from a combinat orial phage display peptide library	
⟨400⟩	12	
Ser Hi 1	s Leu Ser	10
<pre><210> <211> <212> <213></pre>	13 4 PRT Artificial	20
〈220〉 〈223〉	Peptide binding to human IgG Fc fragment obtained from a combinat orial phage display peptide library	
⟨400⟩	13	30
Ser Hi 1	s Leu His	3(
⟨210⟩ ⟨211⟩ ⟨212⟩ ⟨213⟩	14 6 PRT Artificial	40

〈220〉 〈223〉	Peptide binding to human IgG Fc fragment obtained from a combinat orial phage display peptide library	
<220> 221 222 223	MISC_FEATURE (4)(4) Xaa stands for Ser or His	10
<220> 221 222 223	MISC_FEATURE (5)(5) Xaa stands for Phe or Pro	20
⟨400⟩ Ser Hi 1 ⟨210⟩	14 s Leu Xaa Xaa Pro 5	30
<pre><211> <212> <213> <220></pre>	PRT Artificial	40



 $\langle 223 \rangle$

Xaa stands for Ser or Tyr

(220) (221) MISC_FEATURE (5)..(5)(222) (223) Xaa stands for Phe or Ala 10 **(400)** 16 Ser Leu Xaa Xaa Xaa Leu Ser 1 (210) 17 20 **(211)** 7 ⟨212⟩ PRT ⟨213⟩ Artificial (220) ⟨223⟩ Peptide binding to human IgG Fc fragment obtained from a combinat 30 orial phage display peptide library (220) **(221)** MISC_FEATURE (3)..(3)(222) ⟨223⟩ Xaa stands for Gln or Ser 40

(220) (221) MISC_FEATURE (222) (4)...(4)(223) Xaa stands for Val or Ala $\langle 220 \rangle$ 10 **(221)** MISC_FEATURE (5)..(5) $\langle 222 \rangle$ $\langle 223 \rangle$ Xaa stands for Ala or Asn **(400)** 17 20 Ser Leu Xaa Xaa Xaa Thr Thr 1 5 (210) 18 ⟨211⟩ 6 ⟨212⟩ PRT 30 ⟨213⟩ Artificial (220) Peptide binding to human IgG Fc fragment obtained from a combinat (223) orial phage display peptide library 40 (220)

(221) MISC_FEATURE

30

40

- ⟨222⟩ (4)..(4)
- (223) Xaa stands for Gln or Ser

 $\langle 220 \rangle$

- (221) MISC_FEATURE
- (222) (5)..(5)

(223) Xaa stands for Val or Tyr

(400) 18

Ser Ser Leu Xaa Xaa Ala

1 5

- (210) 19
- (211) 7
- ⟨212⟩ PRT
- (213) Artificial

(220)

(223) Peptide binding to human IgG Fc fragment obtained from a combinat orial phage display peptide library

(220)

- (221) MISC_FEATURE
- ⟨222⟩ (4)..(4)

(223) Xaa stands for Ser or Arg

〈220〉	MYCC PRABITE	
(221)	MI SC_FEATURE	
(222)	(5)(5)	
⟨223⟩	Xaa stands for Tyr or Phe	
		10
⟨220⟩		
⟨221⟩	MISC_FEATURE	
⟨222⟩	(6)(6)	
⟨223⟩	Xaa stands for Ser or Trp	
		20
〈400〉	19	
a - a -		
	r Leu Xaa Xaa Pro	
1	5	
⟨210⟩	20	30
⟨211⟩	4	
⟨212⟩	PRT	
⟨213⟩	Artificial	
⟨220⟩		
$\langle 223 \rangle$	Peptide binding to human IgG Fc fragment obtained from a combinat	
	orial phage display peptide library	40

〈400〉 20

Ser Ser Ser Met

1

⟨210⟩ 21

10

- ⟨211⟩ 5
- ⟨212⟩ PRT
- (213) Artificial

(220)

(223) Peptide binding to human IgG Fc fragment obtained from a combinat orial phage display peptide library

20

- (220)
- (221) MISC_FEATURE
- (222) (4)..(4)
- (223) Xaa stands for Leu or Met

30

40021

Ser Ser Ser Xaa Ser

1 5

⟨210⟩ 22

⟨211⟩ 6

⟨212⟩	PRT	
⟨213⟩	Artificial	
⟨220⟩		
⟨223⟩	Peptide binding to human IgG Fc fragment obtained from a combinat	
	orial phage display peptide library	
		10
(220)		
⟨221⟩	MISC_FEATURE	
	(4)(4)	
(223)	Xaa stands for Leu, Met or Ile	
⟨220⟩		20
⟨221⟩	MISC_FEATURE	20
	(5)(5)	
(223)	Xaa stands for Ser, Val or Tyr	
,		
〈400 〉	22	
		30
Ser Se	r Ser Xaa Xaa Tyr	
1	5	
•		
(210)	23	
(211)	4	40
(212)	PRT	40
$\langle 213 \rangle$	Artificial	

〈220〉 〈223〉	Peptide binding to human IgG Fc fragment obtained from a combinat orial phage display peptide library	
⟨400⟩	23	
Ser Tw	r Leu Ser	10
1	r bed ber	
(210)	24	
(211)	4	
(212)	PRT	20
⟨213⟩	Artificial	
⟨220⟩		
(223)	Peptide binding to human IgG Fc fragment obtained from a combinat	
	orial phage display peptide library	
〈400〉	24	30
Thr Tv	r Ser Ser	
1		
(210)	25	40
(211)	9	40
⟨212⟩	PRT	

⟨213⟩	Artificial	
〈220〉 〈223〉	Peptide binding to human IgG Fc fragment obtained from a combinat orial phage display peptide library	
	MISC_FEATURE (3)(3) Xaa stands for Arg or Ser	10
<220> 221 222 223	MISC_FEATURE (6)(6) Xaa stands for Val or Ile	20
<220> 221 222 223	MISC_FEATURE (7)(7) Xaa stands for Ser or Tyr	30
<pre><220> <221> <222> <223></pre>	MISC_FEATURE (8)(8) Xaa stands for Phe or Tyr	40

(400) 25

Thr Tyr Xaa Ser Ser Xaa Xaa Xaa Ala

1 5

(210) 26

⟨211⟩ 8

⟨212⟩ PRT

(213) Artificial

(220)

(223) Peptide binding to human IgG Fc fragment obtained from a combinat orial phage display peptide library

 $\langle 220 \rangle$

(221) MISC_FEATURE

(222) (3)..(3)

(223) Xaa stands for Leu or Ser

 $\langle 220 \rangle$

(221) MISC_FEATURE

(222) (5)..(5)

(223) Xaa stands for His or Ser

(220)

10

20

30

<221> 222 223	MISC_FEATURE (6)(6) Xaa stands for Leu or Ile	
(220)		
(221)	MISC_FEATURE	10
(222)	(7)(7)	
(223)	Xaa stands for Ser or Tyr	
⟨400⟩	26	
The Tu	r Xaa Ser Xaa Xaa Xaa Tyr	20
1	5	
⟨210⟩	27	
$\langle 211 \rangle$	7	
⟨212⟩	PRT	
$\langle 213 \rangle$	Artificial	30
(220)		
⟨223⟩	Peptide binding to human IgG Fc fragment obtained from a combinat	
	orial phage display peptide library	
/990\		
〈220〉 〈221〉	MISC_FEATURE	40

(222) (3)..(3)

(223) Xaa stands for Ser, Arg or Leu

(220)

- (221) MISC_FEATURE
- $\langle 222 \rangle$ (5)..(5)
- (223) Xaa stands for Tyr, Ser or His

10

(220)

- (221) MISC_FEATURE
- (222) (6)..(6)
- (223) Xaa stands for Leu or Val

20

(400) 27

Thr Tyr Xaa Ser Xaa Xaa Ser

5

1

30

- (210) 28
- (211) 4
- ⟨212⟩ PRT
- (213) Artificial

(220)

(223) Peptide binding to human IgG Fc fragment obtained from a combinat orial phage display peptide library

(400) 28

Thr Ser Ser Leu

1

/a10\ a0

(210) 29

(211) 5

⟨212⟩ PRT

(213) Artificial

(220)

(223) Peptide binding to human IgG Fc fragment obtained from a combinat orial phage display peptide library

20

10

 $\langle 220 \rangle$

(221) MISC_FEATURE

⟨222⟩ (4)..(4)

(223) Xaa stands for Ile or Leu

30

40

(400) 29

Thr Ser Ser Xaa Ser

1 5

(210) 30

(211) 5 ⟨212⟩ PRT $\langle 213 \rangle$ Artificial (220) (223) Peptide binding to human IgG Fc fragment obtained from a combinat orial phage display peptide library 10 (220) **(221)** MISC_FEATURE (222) (3)..(3)(223) Xaa stands for Tyr, Phe, Thr or Ser 20 **〈400〉** 30 Thr Ser Xaa Leu Ser 1 5 (210) 31 30 ⟨211⟩ 5 ⟨212⟩ PRT ⟨213⟩ Artificial (220) Peptide binding to human IgG Fc fragment obtained from a combinat (223) 40 orial phage display peptide library

20

30

(220)

(221) MISC_FEATURE

⟨222⟩ (3)..(3)

(223) Xaa stands for Val or Ser

〈400〉 31

Thr Ser Xaa Leu Arg

1 5

(210) 32

⟨211⟩ 6

⟨212⟩ PRT

(213) Artificial

(220)

(223) Peptide binding to human IgG Fc fragment obtained from a combinat orial phage display peptide library

(220)

(221) MISC_FEATURE

⟨222⟩ (3)..(3)

(223) Xaa stands for Phe or Ser

⟨400⟩ 32

30

40

Thr Ser Xaa Leu Ser Tyr 1 5

⟨210⟩ 33

(211) 8

⟨212⟩ PRT

(213) Artificial

(220)

(223) Peptide binding to human IgG Fc fragment obtained from a combinat orial phage display peptide library

(220)

- (221) MISC_FEATURE
- (222) (3)..(3)
- (223) Xaa stands for Tyr or Ser

(220)

(221) MISC_FEATURE

(222) (5)..(5)

(223) Xaa stands for Ser or Arg

(220)

- (221) MISC_FEATURE
- (222) (6)..(6)

(223) Xaa stands for Val or Phe

(220) (221) MISC_FEATURE (222) (7)..(7) $\langle 223 \rangle$ Xaa stands for Leu or Trp 10 $\langle 400 \rangle$ 33 Thr Ser Xaa Leu Xaa Xaa Xaa Pro 1 5 20 ⟨210⟩ 34 $\langle 211 \rangle$ 9 ⟨212⟩ PRT ⟨213⟩ Artificial (220) $\langle 223 \rangle$ Peptide binding to human IgG Fc fragment obtained from a combinat 30 orial phage display peptide library (220) **(221)** MISC_FEATURE (3)..(3)(222) ⟨223⟩ Xaa stands for Thr or Ser 40

		· /	
⟨220⟩			
⟨221⟩	MISC_FEATURE		
	(5)(5)		
⟨223⟩	Xaa stands for Ser or Arg		
⟨220⟩			10
$\langle 221 \rangle$	MISC_FEATURE		
$\langle 222 \rangle$	(6)(6)		
⟨223⟩	Xaa stands for Ser or Phe		
/000\			
〈220〉 〈221〉	MICC PRATIDE		20
〈221〉 〈222〉	MISC_FEATURE		20
〈222〉 〈223〉	(7)(7) Xaa stands for His or Trp		
\220/	Add Stanus for his of fip		
⟨220⟩			
⟨221⟩	MISC_FEATURE		
⟨222⟩	(8)(8)		30
⟨223⟩	Xaa stands for Val or Pro		
〈400〉	34		
Thr Se	r Xaa Leu Xaa Xaa Xaa Xaa Pro	0	

1

<pre>〈210〉 〈211〉 〈212〉 〈213〉</pre>	35 6 PRT Artificial	
〈220〉 〈223〉	Peptide binding to human IgG Fc fragment obtained from a combinat orial phage display peptide library	10
	MISC_FEATURE (3)(3) Xaa stands for Ser or Thr	20
<220><221><222><223> 223	MISC_FEATURE (4)(4) Xaa stands for Ile or Leu	30
	35 er Xaa Xaa Ser Ser	
1 〈210〉	5 36	40

(211) 6 ⟨212⟩ PRT ⟨213⟩ Artificial ⟨220⟩ (223) Peptide binding to human IgG Fc fragment obtained from a combinat orial phage display peptide library 10 (220) ⟨221⟩ MISC_FEATURE (222) (3)..(3)(223) Xaa stands for Tyr or Lys 20 (220) (221) MISC_FEATURE (222) (4)..(4)(223) Xaa stands for Leu or Met **(400)** 36 30 Thr Ser Xaa Xaa Ser Val 1 5 **〈210〉** 37 40 ⟨211⟩ 7 (212) PRT

⟨213⟩	Artificial	
⟨220⟩		
⟨223⟩	Peptide binding to human IgG Fc fragment obtained from a combinat	
	orial phage display peptide library	
⟨220⟩		10
⟨221⟩	MISC_FEATURE	
	(3)(3)	
(223)	Xaa stands for Tyr or Ser	
⟨220⟩		20
⟨221⟩	MISC_FEATURE	
	(4)(4)	
〈223〉	Xaa stands for Leu or Ile	
⟨220⟩		
〈221〉	MISC_FEATURE	30
	(6)(6)	
⟨223⟩	Xaa stands for Val or Ser	

〈400〉 37

1

Thr Ser Xaa Xaa Ser Xaa Leu

⟨210⟩	38	
〈211〉	9	
〈212〉	PRT	
〈213 〉	Artificial	
		10
〈220〉		
〈223〉	Peptide binding to human IgG Fc fragment obtained from a combinat	
	orial phage display peptide library	
〈220〉		
〈221〉	MISC_FEATURE	
⟨222⟩	(3)(3)	20
⟨223⟩	Xaa stands for Ser or Lys	
⟨220⟩		
⟨221⟩	MISC_FEATURE	
⟨222⟩	(4)(4)	
⟨223⟩	Xaa stands for Ile or Met	30
⟨220⟩		
⟨221⟩	MISC_FEATURE	
⟨222⟩	(6)(6)	
⟨223⟩	Xaa stands for Ser or Val	
		40

	(64)) JP	2004-187563 A 2	004.7.8
⟨220⟩				
⟨221⟩	MISC_FEATURE			
⟨222⟩	(7)(7)			
⟨223⟩	Xaa stands for Leu or Asn			
(220)				10
⟨221⟩	MISC_FEATURE			
	(8)(8)			
⟨223⟩	Xaa stands for Gly or Asn			
〈400〉	38			
(400)	30			20
Thr Se	er Xaa Xaa Ser Xaa Xaa Xaa Thr			20
1	5			
⟨210⟩	39			
$\langle 211 \rangle$	4			
⟨212⟩	PRT			30
⟨213⟩	Artificial			
(220)				
$\langle 223 \rangle$	Peptide binding to human IgG Fc fra	agment obtained f	rom a combinat	

orial phage display peptide library

 $\langle 400 \rangle - 39$

Thr Tyr Ser Ser

⟨210⟩	40	
(211)	9	
(211)	PRT	4.0
(213)		10
(213)	AI [I I I I I I I I I I I I I I I I I I	
⟨220⟩		
⟨223⟩	Peptide binding to human IgG Fc fragment obtained from a combinat	
	orial phage display peptide library	
⟨220⟩		20
$\langle 221 \rangle$	MISC_FEATURE	
⟨222⟩	(3)(3)	
⟨223⟩	Xaa stands for Arg or Ser	
⟨220⟩		
〈221〉	MISC_FEATURE	30
⟨222⟩	(6)(6)	
⟨223⟩	Xaa stands for Val or Ile	
(220)		
(221)	MI SC_FEATURE	40
(222)	(7)(7)	40
⟨223⟩	Xaa stands for Ser or Tyr	

(220) **(221)** MISC_FEATURE (222) (8)..(8) $\langle 223 \rangle$ Xaa stands for Phe or Tyr 10 **(400)** 40 Thr Tyr Xaa Ser Ser Xaa Xaa Xaa Ala 5 1 20 ⟨210⟩ 41 $\langle 211 \rangle$ 6 ⟨212⟩ PRT ⟨213⟩ Artificial (220) $\langle 223 \rangle$ Peptide binding to human IgG Fc fragment obtained from a combinat 30 orial phage display peptide library (220) ⟨221⟩ MISC_FEATURE (3)..(3)(222) ⟨223⟩ Xaa stands for Ser, Val or Leu 40 ⟨220⟩

(221) MISC_FEATURE

(222) (5)..(5)

(223) Xaa stands for Tyr or His

(400) 41

10

Thr Tyr Xaa Ser Xaa Leu

1

(210) 42

⟨211⟩ 7

⟨212⟩ PRT

(213) Artificial

(220)

(223) Peptide binding to human IgG Fc fragment obtained from a combinat orial phage display peptide library

30

20

(220)

(221) MISC_FEATURE

⟨222⟩ (3)..(3)

(223) Xaa stands for Ser, Arg or Leu

⟨220⟩

(221) MISC_FEATURE

30

40

- (222) (5)..(5)
- (223) Xaa stands for Tyr, Ser or His
- $\langle 220 \rangle$
- (221) MISC_FEATURE
- (222) (6)..(6)

(223) Xaa stands for Leu or Val

(400) 42

Thr Tyr Xaa Ser Xaa Xaa Ser

1 5

- (210) 43
- ⟨211⟩ 8
- ⟨212⟩ PRT
- (213) Artificial

(220)

(223) Peptide binding to human IgG Fc fragment obtained from a combinat orial phage display peptide library

(220)

- (221) MISC_FEATURE
- $\langle 222 \rangle$ (3)..(3)

(223) Xaa stands for Leu or Ser

/non\		
〈220〉 〈221〉	MICC PDATIBE	
(222)		
	Xaa stands for His or Ser	
(220)	INCLUDING TOT 1115 OF BOT	10
		10
⟨220⟩		
⟨221⟩		
⟨222⟩	(6)(6)	
⟨223⟩	Xaa stands for Leu or Ile	
		20
⟨220⟩		
⟨221⟩		
(222)		
(223)	Xaa stands for Ser or Tyr	
(400)	40	30
〈400〉	43	30
The T	yr Xaa Ser Xaa Xaa Xaa Tyr	
1	yr naa oci maa naa ryr 5	
_		
⟨210⟩	44	
⟨211⟩		40
⟨212⟩	PRT	

⟨213⟩	Artificial	
〈220〉 〈223〉	Peptide binding to human IgG Fc fragment obtained from a combinat	
	orial phage display peptide library	
⟨220⟩		10
⟨221⟩	MISC_FEATURE	
⟨222⟩	(3)(3)	
⟨223⟩	Xaa stands for Ser or Val	
⟨220⟩		
⟨22 1 ⟩	MISC_FEATURE	20
	(5)(5)	_
	Xaa stands for Tyr or His	
(222)		
(220)	NACO EDAMENT	
(221)	MISC_FEATURE	30
	(7)(7)	30
⟨223⟩	Xaa stands for Ser or His	
⟨220⟩		
⟨221⟩	MISC_FEATURE	
⟨222⟩	(8)(8)	
⟨223⟩	Xaa stands for Ser or Asn	40

(220) $\langle 221 \rangle$ MISC_FEATURE (9)..(9)(222) (223) Xaa stands for His or Gln 10 (220) **(221)** MISC_FEATURE (10)..(10) (222) (223) Xaa stands for Thr or Leu **400** 44 20 Thr Tyr Xaa Ser Xaa Leu Xaa Xaa Xaa Xaa Pro 5 1 10 (210) 45 ⟨211⟩ 5 30 ⟨212⟩ PRT ⟨213⟩ Artificial (220) $\langle 223 \rangle$ Peptide binding to human IgG Fc fragment obtained from a combinat orial phage display peptide library 40 (220)

(221) MISC_FEATURE (4)..(4)(222) (223) Xaa stands for Val or His **(400)** 45 10 Tyr Leu Ser Xaa Leu 1 ⟨210⟩ 46 $\langle 211 \rangle$ 7 ⟨212⟩ PRT 20 ⟨213⟩ Artificial ⟨220⟩ (223) Peptide binding to human IgG Fc fragment obtained from a combinat orial phage display peptide library (220) 30 ⟨221⟩ MISC_FEATURE (222) (5)..(5) (223) Xaa stands for Met or Ile (220)

(221)

(222)

MISC_FEATURE

(6)..(6)

30

40

(223)	Xaa	stands	for	Val	10	Tvr

400 46

Tyr Ser Ser Ser Xaa Xaa Tyr

1 5

- (210) 47
- (211) 10
- ⟨212⟩ PRT
- (213) Artificial

(220)

(223) Peptide binding to human IgG Fc fragment obtained from a combinat orial phage display peptide library

(220)

- (221) MISC_FEATURE
- ⟨222⟩ (4)..(4)

(223) Xaa stands for Tyr, Ser or Gln

(220)

- (221) MISC_FEATURE
- (222) (5)..(5)
- (223) Xaa stands for Leu, Met or Pro

		10
⟨220⟩		
(221)	MISC_FEATURE	
〈222〉 〈223〉	(7)(7) Xaa stands for Ser, Tyr or Trp	
\660/	naa stamus tot set, tyt ot ttp	
⟨220⟩		20
⟨221⟩	MISC_FEATURE	
(222)	(8)(8)	
⟨223⟩	Xaa stands for His, Gln or Leu	
⟨220⟩		
〈221〉	MISC_FEATURE	30
⟨222⟩	(9)(9)	
⟨223⟩	Xaa stands for Thr, Pro or Leu	
〈400〉	47	
-		
Tyr Se	r Ser Xaa Xaa Xaa Xaa Xaa Pro	40
1	5 10	

〈210〉	48	
〈211〉	4	
〈212〉	PRT	
⟨213⟩	Artificial	
		10
(220)		
⟨223⟩	Peptide binding to human IgG Fc fragment obtained from a combinat	
	orial phage display peptide library	
(400)	48	
T TL.	- Ca- Ca-	0.0
	r ger ger	20
1		
⟨210⟩	49	
⟨211⟩	5	
⟨212⟩	PRT	
⟨213⟩	Artificial	30
⟨220⟩		
(000)	Positive tipling to lower TeC To Proposed obtained from continut	
$\langle 223 \rangle$	Peptide binding to human IgG Fc fragment obtained from a combinat	
(223)	orial phage display peptide library	
(223)		
〈223〉 〈220〉		
		40
	<pre><211> <212> <213> <220> <223> </pre> <pre><400> </pre> Tyr The <pre>1</pre> <pre><210> <211> <212></pre>	<pre>(211) 4 (212) PRT (213) Artificial (220) (223) Peptide binding to human IgG Fc fragment obtained from a combinat</pre>

30

$\langle 223 \rangle$	Хаа	stands	for	His	10	Lvs

(400) 49

Tyr Thr Ser Xaa Met

1 5

(210) 50

(211) 5

⟨212⟩ PRT

(213) Artificial

⟨220⟩

(223) Peptide binding to human IgG Fc fragment obtained from a combinat orial phage display peptide library

(220)

(221) MISC_FEATURE

 $\langle 222 \rangle$ (4)..(4)

(223) Xaa stands for Tyr or Ser

(400) 50

Tyr Thr Ser Xaa Leu

1 5

⟨210⟩	51	
⟨211⟩	6	
⟨212⟩	PRT	
⟨213⟩	Artificial	
⟨220⟩		10
⟨223⟩	Peptide binding to human IgG Fc fragment obtained from a combinat	
	orial phage display peptide library	
(220)		
〈221〉	MI SC_FEATURE	
⟨222⟩	(4)(4)	
⟨223⟩	Xaa stands for Tyr, Ser or Lys	20
/000\		
(220)	WIGO DRAWING	
(221)	MI SC_FEATURE	
	(5)(5)	
(223)	Xaa stands for Leu, Ile or Met	30
		30
⟨400⟩	51	
(100)		
Tyr Th	r Ser Xaa Xaa Ser	
1	5	
		40
		4(

〈210〉 52

(211) 7 ⟨212⟩ PRT ⟨213⟩ Artificial ⟨220⟩ (223) Peptide binding to human IgG Fc fragment obtained from a combinat orial phage display peptide library 10 (220) (221) MISC_FEATURE (222) (4)...(4)(223) Xaa stands for Tyr or Lys 20 (220) (221) MISC_FEATURE (222) (5)..(5)⟨223⟩ Xaa stands for Leu or Met (400) 52 30 Tyr Thr Ser Xaa Xaa Ser Val 1 5 ⟨210⟩ 53 40 **〈211〉** 8 (212) PRT

⟨213⟩	Artificial	
〈220〉 〈223〉	Peptide binding to human IgG Fc fragment obtained from a combinat orial phage display peptide library	
⟨220⟩		10
⟨221⟩	MI SC_FEATURE	
	(4)(4)	
⟨223⟩	Xaa stands for Tyr or Ser	
⟨220⟩		
⟨221⟩	MISC_FEATURE	20
⟨222⟩	(5)(5)	
⟨223⟩	Xaa stands for Leu or Ile	
⟨220⟩		30
⟨221⟩	MISC_FEATURE	
	(7)(7)	
⟨223⟩	Xaa stands for Val or Ser	
〈400〉	53	

Tyr Thr Ser Xaa Xaa Ser Xaa Leu

1	5
1	ე

(223) Xaa stands for Ala or Arg

<pre>⟨210⟩ ⟨211⟩ ⟨212⟩ ⟨213⟩</pre>	54 8 PRT Artificial	10
〈220〉 〈223〉	Peptide binding to human IgG Fc fragment obtained from a combinat orial phage display peptide library	
<220> 221 222 223	MISC_FEATURE (4)(4) Xaa stands for His or Ser	20
<220> 221 222 223	MISC_FEATURE (5)(5) Xaa stands for Met or Leu	30
<220> 221 222	MISC_FEATURE (6)(6)	

(220) **(221)** MISC_FEATURE (7)..(7)(222) ⟨223⟩ Xaa stands for Asn or Phe 10 (400) 54 Tyr Thr Ser Xaa Xaa Xaa Xaa Trp 1 (210) 55 20 ⟨211⟩ 9 ⟨212⟩ PRT ⟨213⟩ Artificial (220) ⟨223⟩ Peptide binding to human IgG Fc fragment obtained from a combinat orial phage display peptide library 30 (220) **(221)** MISC_FEATURE (4)..(4)(222) (223) Xaa stands for Tyr or Ser 40 (220)

		(82)	JP	2004-187563	2004.7.8	
⟨221⟩	MISC_FEATURE					
⟨222⟩	(6)(6)					
$\langle 223 \rangle$	Xaa stands for Ser or Arg					
⟨220⟩						
(221)	MISC_FEATURE					10
	(7)(7)					10
	Xaa stands for Val or Phe					
\2207	naa stanas for var of fine					
⟨220⟩						
$\langle 221 \rangle$	MISC_FEATURE					
⟨222⟩	(8)(8)					20
$\langle 223 \rangle$	Xaa stands for Leu or Trp					
(400)						
〈400〉	55					
Tyr Thi	r Ser Xaa Leu Xaa Xaa Xaa Pro					
1	5					30
_	<u>.</u>					
⟨210⟩	56					
$\langle 211 \rangle$	10					

 $\langle 212 \rangle$

⟨213⟩

⟨220⟩

PRT

Artificial

⟨223⟩	Peptide binding to human IgG Fc fragment obtained from a combinat orial phage display peptide library
⟨220⟩	

⟨222⟩ (4).. (4)
⟨223⟩ Xaa stands for Ser or Lys

(220)

(221) MISC_FEATURE

(221) MISC_FEATURE

(222) (5)..(5)

(223) Xaa stands for Ile or Met

20

10

(220)

(221) MISC_FEATURE

(222) (7)..(7)

(223) Xaa stands for Ser or Val

30

(220)

(221) MISC_FEATURE

(222) (8)..(8)

(223) Xaa stands for Leu or Asn

(220)

(221) MISC_FEATURE

```
⟨222⟩ (9)..(9)
⟨223⟩ Yaa standı
```

(223) Xaa stands for Gly or Asn

〈400〉 56

Tyr Thr Ser Xaa Xaa Ser Xaa Xaa Xaa Thr
1 5 10

10

(210) 57

(211) 5

⟨212⟩ PRT

(213) Artificial

20

(220)

(223) Peptide binding to human IgG Fc fragment obtained from a combinat orial phage display peptide library

〈400〉 57

30

Ala Asn Trp Ser Met

1 5

(210) 58

(211) 7

⟨212⟩ PRT

40

(213) Artificial

〈220〉 〈223〉	Peptide binding to human IgG Fc fragment obtained from a combinat orial phage display peptide library	
<220> 221 222 223	MISC_FEATURE (2)(2) Xaa stands for Asn or Val	10
<220> 221 222 223	MISC_FEATURE (4)(4) Xaa stands for Ser or Thr	20
<220> 221 222 223	MISC_FEATURE (6)(6) Xaa stands for Ser or Lys	30
(400) Ala Xa 1	58 na Tyr Xaa Ser Xaa Met 5	40

⟨210⟩	59	
〈211〉	8	
$\langle 212 \rangle$	PRT	
⟨213⟩	Artificial	
⟨220⟩		
⟨223⟩	Peptide binding to human IgG Fc fragment obtained from a combinat	10
	orial phage display peptide library	
⟨220⟩		
〈221〉	MISC_FEATURE	
⟨222⟩	(2)(2)	
⟨223⟩	Xaa stands for Ser, Trp or Val	
		20
⟨220⟩		
$\langle 221 \rangle$	MISC_FEATURE	
⟨222⟩	(3)(3)	
⟨223⟩	Xaa stands for Leu, Arg or Tyr	
		30
⟨220⟩		
⟨221⟩	MISC_FEATURE	
⟨222⟩	(6)(6)	
⟨223⟩	Xaa stands for Phe, Thr or Lys	
⟨220⟩		40
$\langle 221 \rangle$	MISC_FEATURE	

```
(87)
                                                         JP 2004-187563 A 2004.7.8
(222)
       (7)...(7)
(223)
       Xaa stands for Leu or Met
〈400〉
       59
Ala Xaa Xaa Thr Ser Xaa Xaa Ser
                                                                                       10
                5
1
(210)
       60
(211)
       7
⟨212⟩
      PRT
(213)
      Artificial
                                                                                       20
(220)
⟨223⟩
       Peptide binding to human IgG Fc fragment obtained from a combinat
       orial phage display peptide library
(220)
(221)
      MISC_FEATURE
                                                                                      30
⟨222⟩
       (3)..(3)
       Xaa stands for Arg, Lys, Tyr or Val
(223)
```

(220)

(221)

⟨222⟩

(223)

MISC_FEATURE

Xaa stands for Ala, Val, Leu, Ser or Lys

(4)..(4)

```
(220)
(221)
      MISC_FEATURE
(222)
       (6)..(6)
(223)
       Xaa stands for Thr, Ser, His or Tyr
                                                                                         10
(400) 60
Gly Thr Xaa Xaa Ser Xaa Leu
                 5
1
                                                                                         20
⟨210⟩
       61
(211)
       6
⟨212⟩
      PRT
⟨213⟩
       Artificial
(220)
\langle 223 \rangle
       Peptide binding to human IgG Fc fragment obtained from a combinat
                                                                                         30
       orial phage display peptide library
(220)
(221)
       MISC_FEATURE
       (3)..(3)
(222)
(223)
       Xaa stands for Tyr or Arg
                                                                                         40
```